

大規模構造における 統合摂動論と バイアス効果

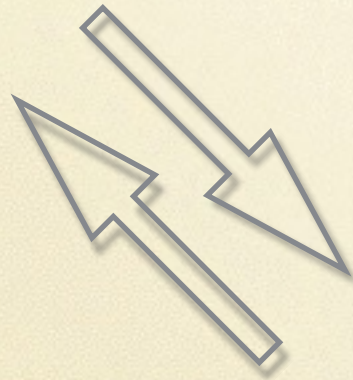
松原隆彦

セミナー@神戸大学

2016/5/18

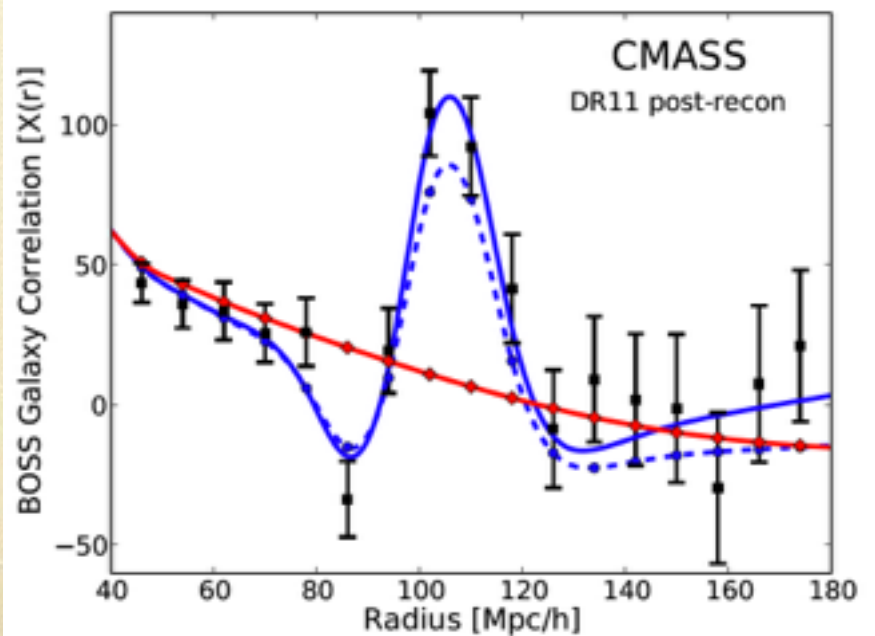
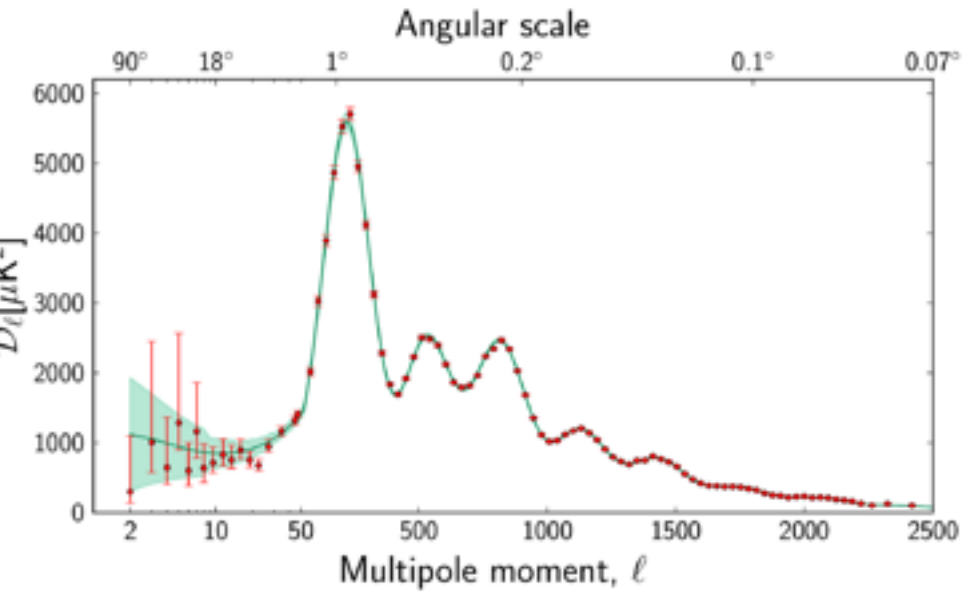
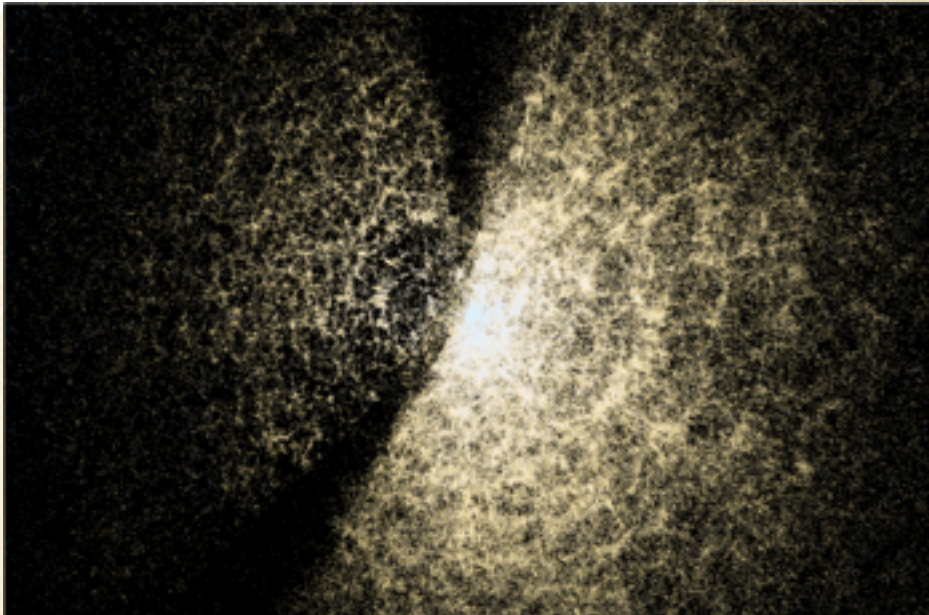
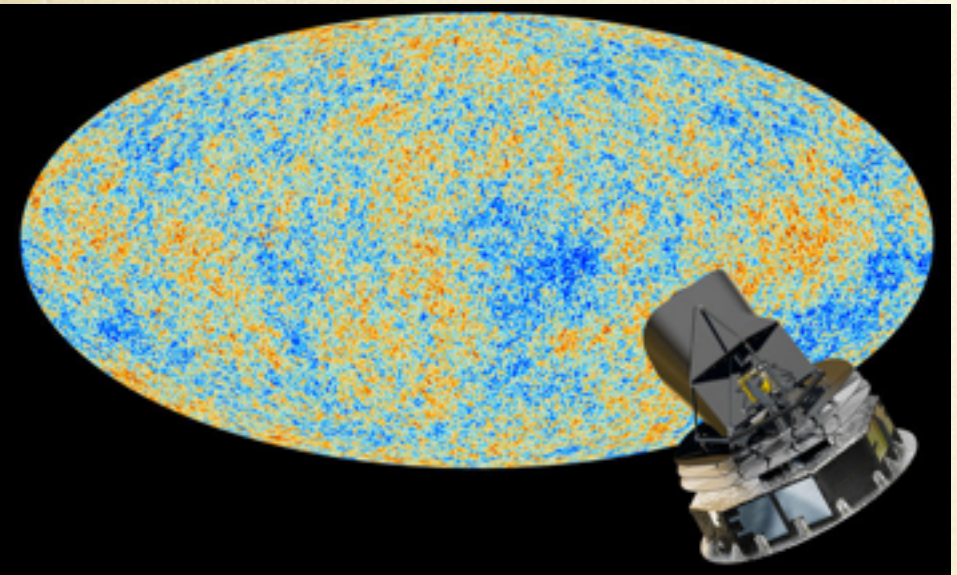
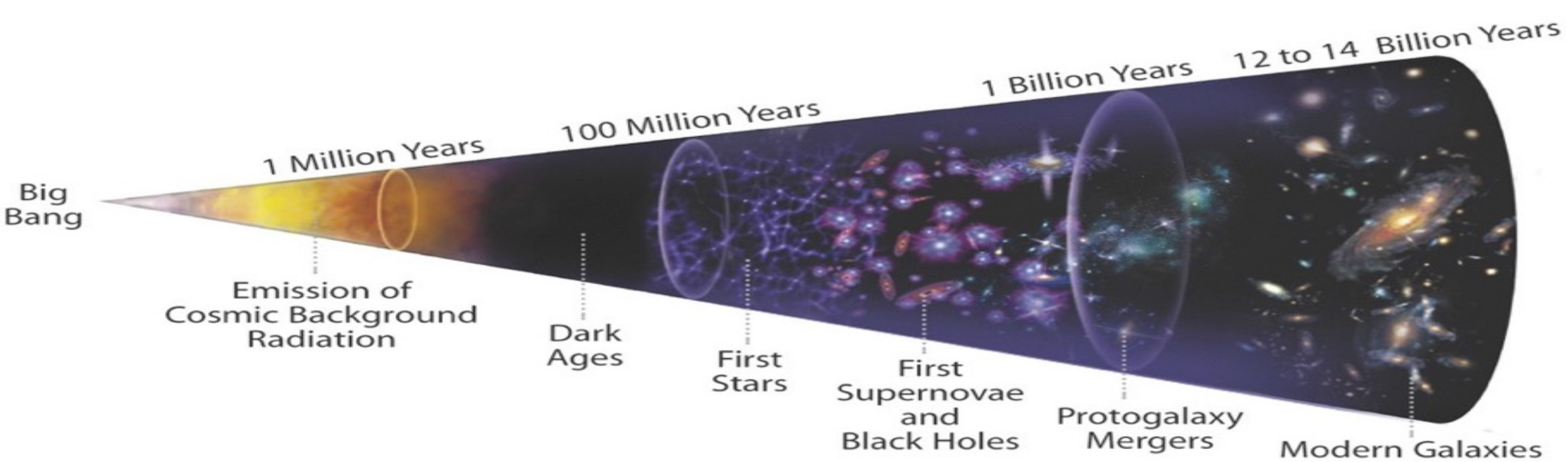
Ideal World
Inflation, Gravity,
Unification,
SUSY, String,
Quantum, ...

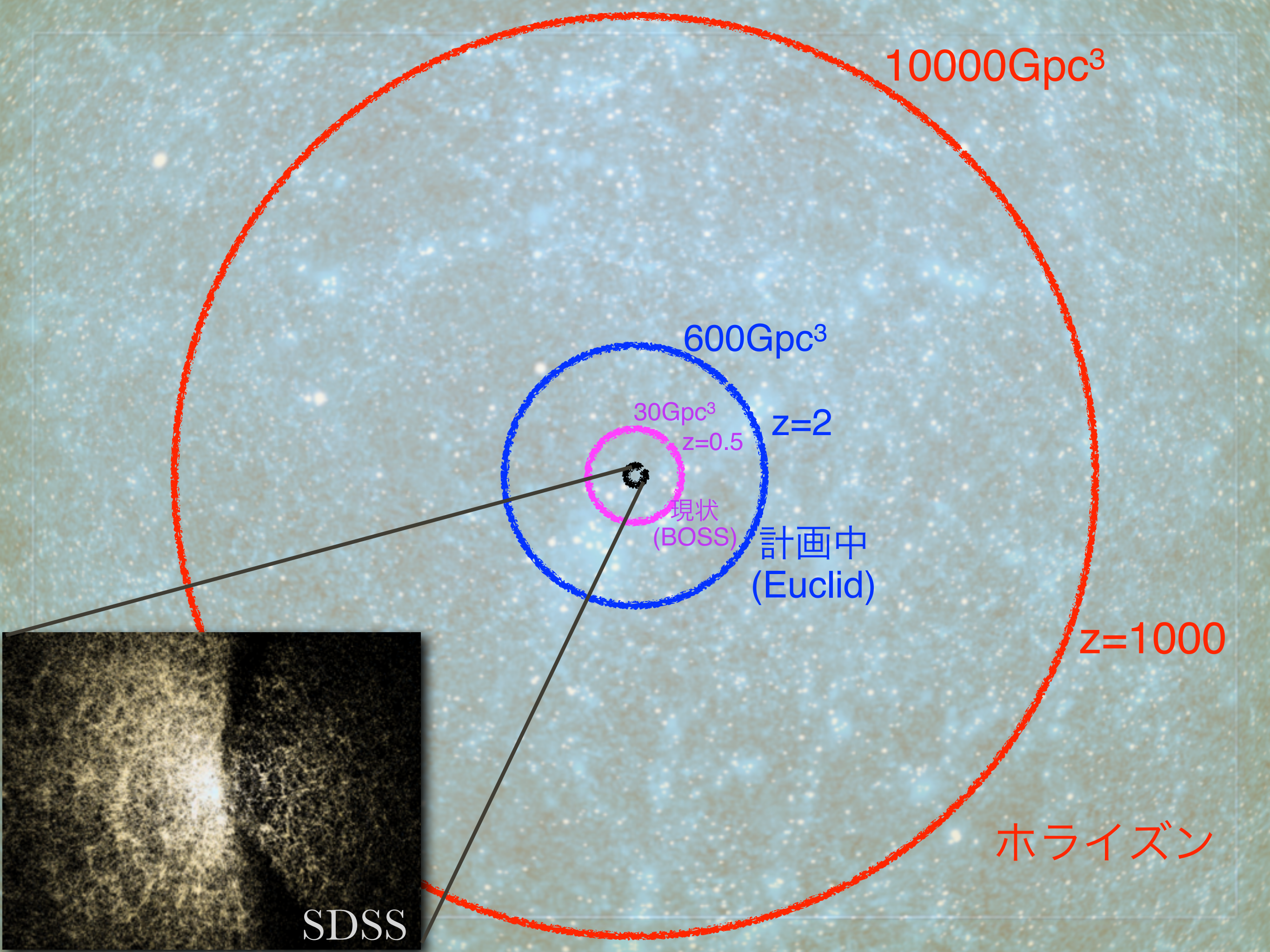
Real World
Galaxies,
Clusters, CMB,
LSS, Lensing,
Ly α , 21cm, ...



Numbers
 $\Omega_m, \Omega_\Lambda, w, \eta,$
 $f\sigma_8, P_\zeta(k), f_{\text{NL}} \dots$







10000 Gpc^3

600 Gpc^3

30 Gpc^3

$z=2$

$z=0.5$

現状
(BOSS)

計画中
(Euclid)

$z=1000$

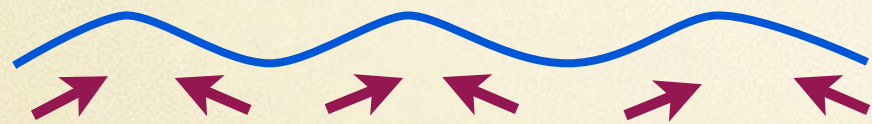
ホライズン

SDSS

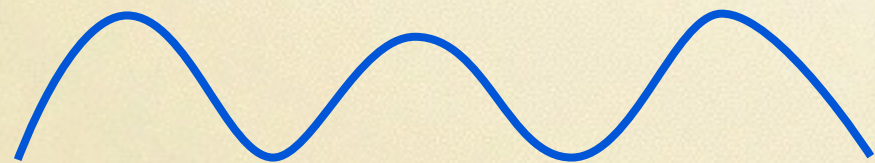
大規模構造の形成

- ・ ゆらぎの線形成長と非線形成長、天体形成

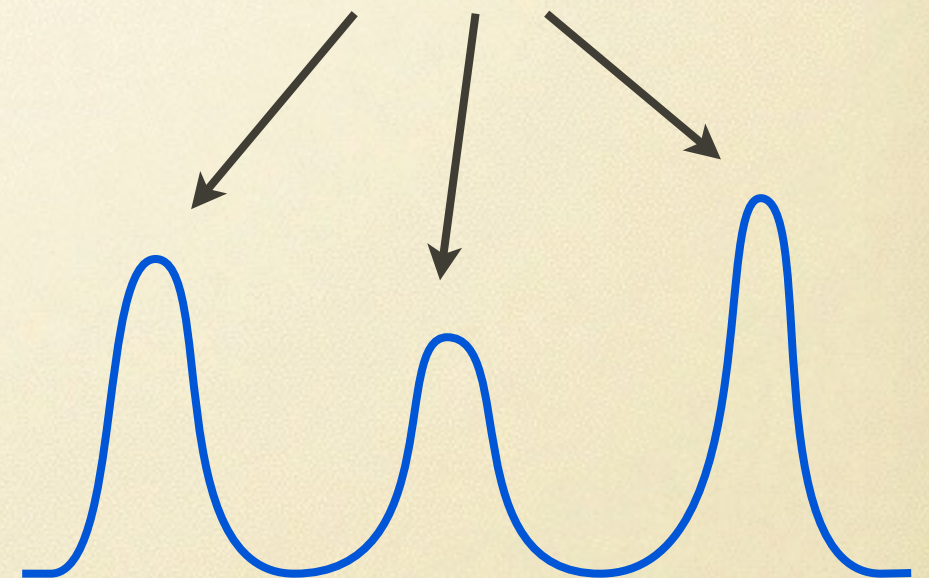
線形成長



非線形成長



天体形成の場所



精密宇宙論には精密な理論が必要

- ・ 非線形成長

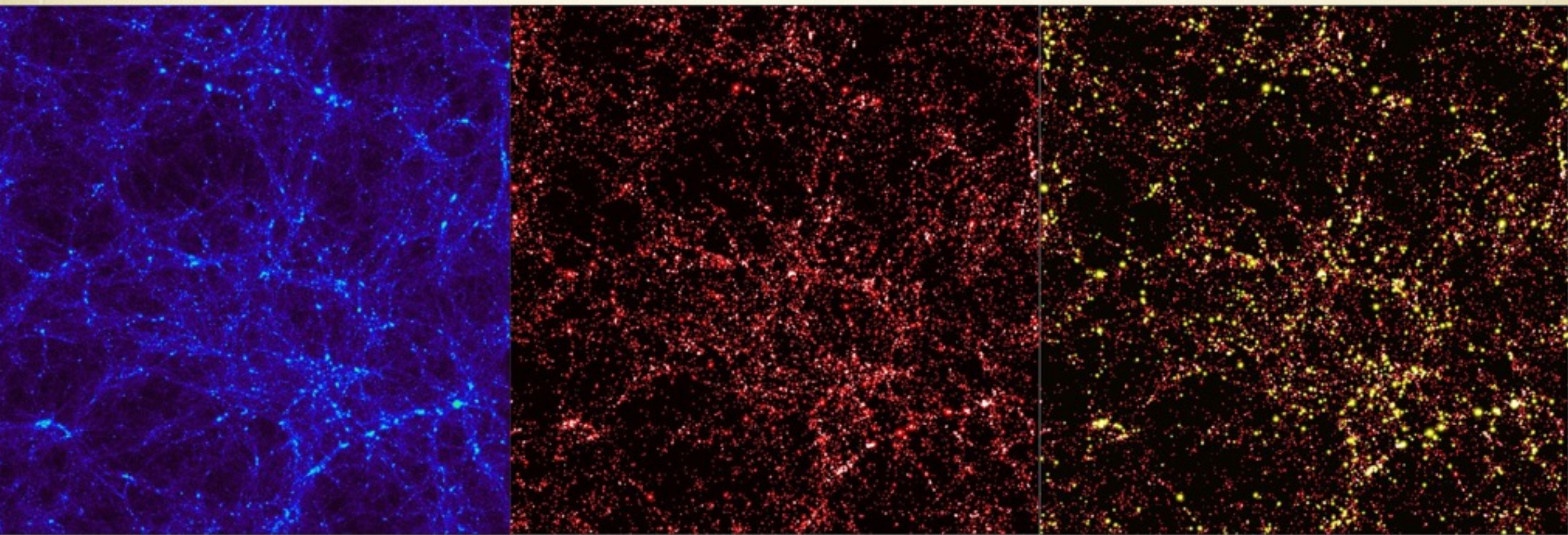
- ・ 精密宇宙論では、大スケールにも影響する

- ・ 赤方偏移変形

- ・ 銀河の特異速度は赤方偏移空間の位置を視線方向へ移動

- ・ バイアス

- ・ 銀河の数密度は質量密度とは異なる



天体バイアスの問題

- ・ 天体バイアスは一般に複雑であり、第一原理から完全に求めることは不可能
- ・ かといって、宇宙論的情報をすべて覆い隠してしまうわけではない
- ・ 求めたい宇宙論的情報に対して、バイアスの違いがどのように影響するのかを定量的に明らかにする必要

局所オイラーバイアス

- これまで非線形領域を表すとして使われてきた単純なバイアスのモデル：局所非線形バイアス

- 仮定：天体密度は（スムージングされた）質量密度の値から局所的な関数として決まる

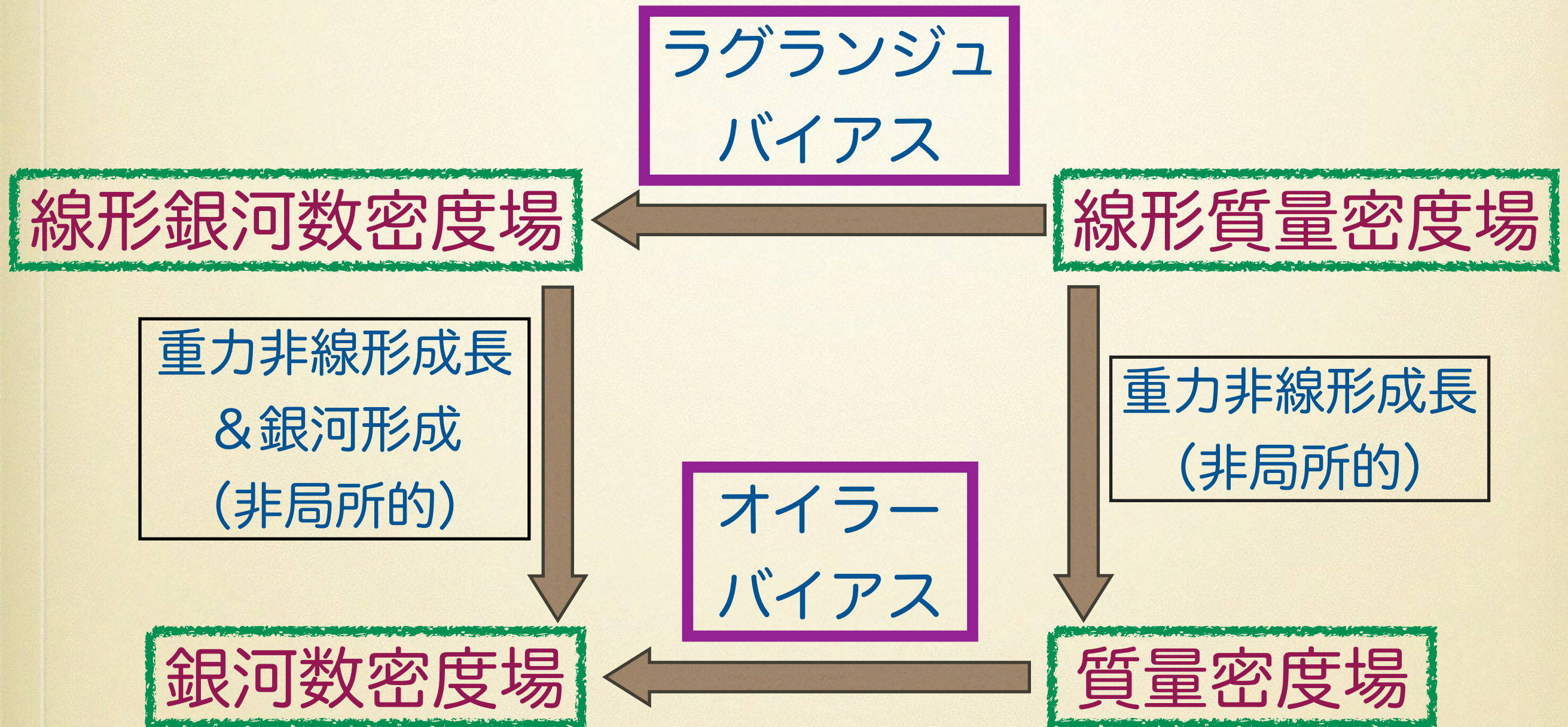
$$\delta_X(\mathbf{x}) = F_X(\delta_m(\mathbf{x}))$$

- 摂動解析のためにテイラー展開

$$\delta_X(\mathbf{x}) = b_0 + b_1 \delta_m(\mathbf{x}) + \frac{b_2}{2!} \delta_m^2(\mathbf{x}) + \dots$$

- 現象論的なモデル、線形バイアスの単純な拡張
- 非線形の高次で発散を導くという欠点（発散を「繰り込み」対処をする方法もあるが、高次の次数ごとに新しいパラメータが必要で、本質的な解決でない）

オイラーバイアスとラグランジュバイアス



非局所バイアスの枠組みでは、オイラーバイアスとラグランジュバイアスは表現が異なるのみ

Eulerian vs Lagrangian picture

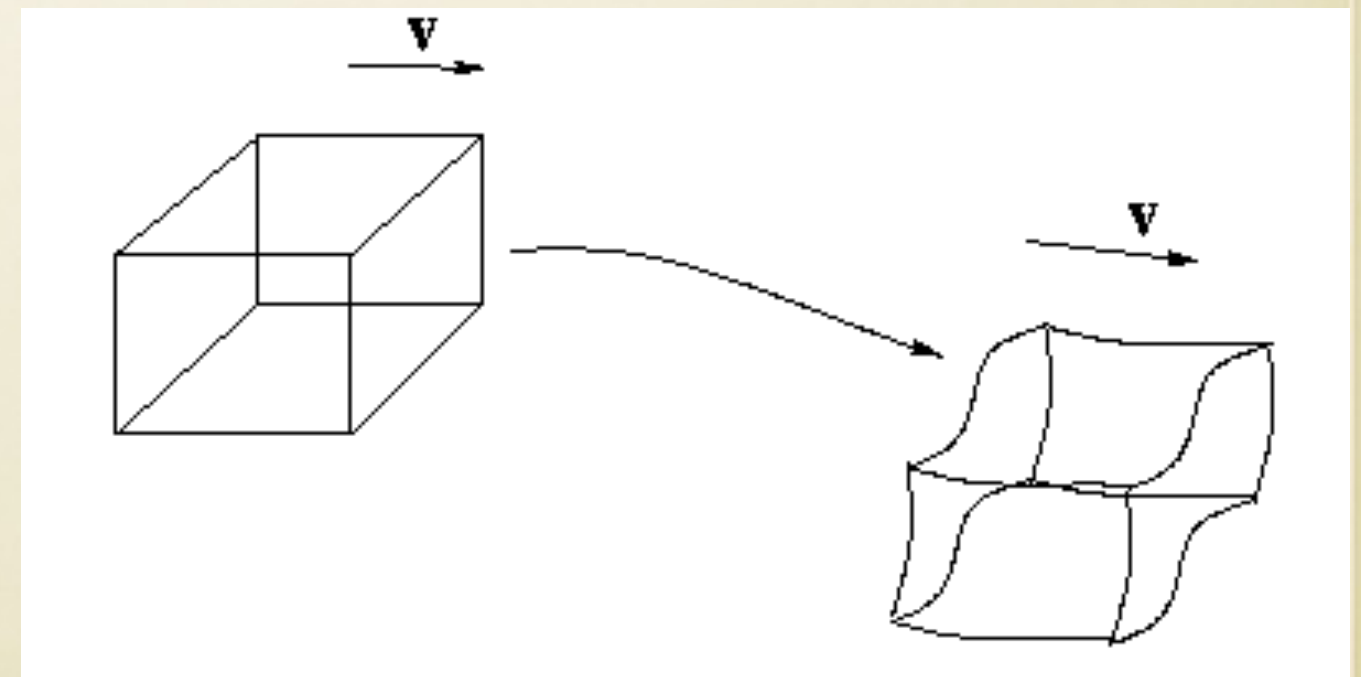
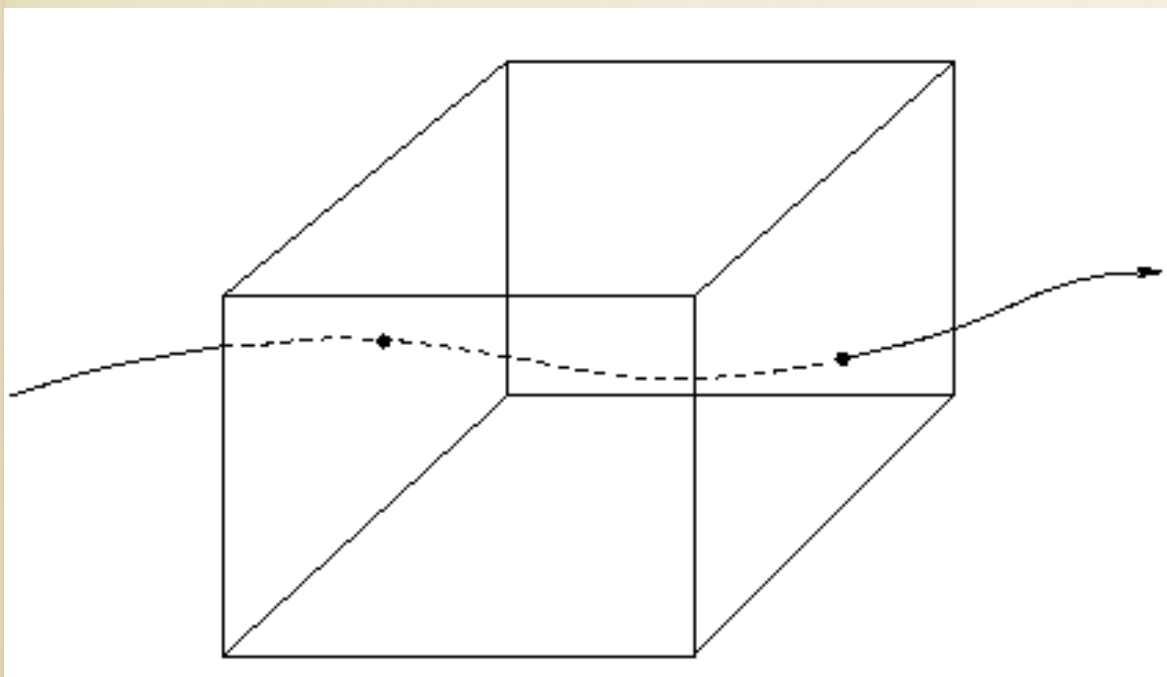
- Eulerian

- density and velocity fields on a fixed space



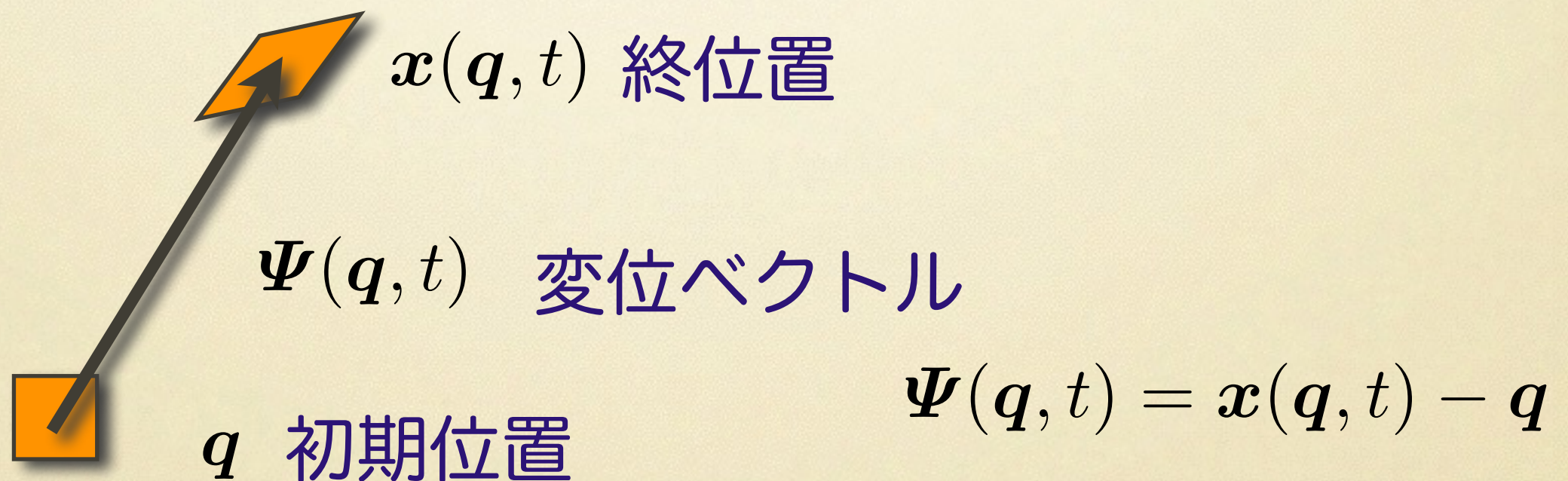
- Lagrangian

- follows a trajectory of a fluid element



ラグランジュ摂動論

- ラグランジュバイアスを扱うため、ラグランジュ摂動論を適用する
- ラグランジュ描像における基本変数：
 - ある物質素片が初期位置からどれだけ移動したかを表すベクトル：**Displacement field** Buchert (1989)



Zel'dovich 近似

- 変位ベクトルの線形近似

Zel'dovich (1970)



運動方程式：

$$\ddot{\Psi} + 2\frac{\dot{a}}{a}\dot{\Psi} = -\frac{1}{a^2}\nabla_x\Phi$$

$$\Delta_x\Phi = 4\pi G\bar{\rho}a^2\delta(\mathbf{x}, t)$$



線形化：

$$\delta(\mathbf{x}, t) = \left[\det \left(\mathbf{I} + \frac{\partial \Psi}{\partial \mathbf{q}} \right) \right]^{-1} - 1 \simeq -\nabla_q \cdot \Psi$$

$$\nabla_x \cdot \Psi \simeq \nabla_q \cdot \Psi, \quad \nabla_x \times \Psi \simeq \nabla_q \times \Psi$$

$$\nabla_q \cdot \left(\ddot{\Psi} + 2\frac{\dot{a}}{a}\dot{\Psi} \right) = -4\pi G\bar{\rho}\nabla_q \cdot \Psi$$

$$\nabla_q \times \left(\ddot{\Psi} + 2\frac{\dot{a}}{a}\dot{\Psi} \right) = 0$$



(成長モード)

$$\nabla_q \times \Psi \simeq 0, \quad \nabla_q \cdot \Psi \propto D(t)$$



$$\Psi \simeq -D(t)\nabla_q\varphi_0(\mathbf{q})$$

ラグランジュ摂動論の再帰的解法

TM (2015)

$$\ddot{\mathbf{x}} + 2H\dot{\mathbf{x}} = -\frac{1}{a^2}\nabla_x\phi(\mathbf{x}, t),$$

$$\Delta_x\phi(\mathbf{x}, t) = 4\pi G\bar{\rho}a^2\delta(\mathbf{x}, t),$$

$$\hat{\mathcal{T}} \equiv \frac{\partial^2}{\partial t^2} + 2H\frac{\partial}{\partial t},$$



$$\mathbf{x}(\mathbf{q}, t) = \mathbf{q} + \boldsymbol{\Psi}(\mathbf{q}, t).$$

$$\nabla \cdot \boldsymbol{\Psi} = D_+(t)A_+ + D_-(t)A_- - (\hat{\mathcal{T}} - 4\pi G\bar{\rho})^{-1} \left[\varepsilon_{ijk}\varepsilon_{ipq}\Psi_{j,p} (\hat{\mathcal{T}} - 2\pi G\bar{\rho})\Psi_{k,q} + \frac{1}{2}\varepsilon_{ijk}\varepsilon_{pqr}\Psi_{i,p}\Psi_{j,q} \left(\hat{\mathcal{T}} - \frac{4\pi G}{3}\bar{\rho} \right)\Psi_{k,r} \right],$$

$$\nabla \times \boldsymbol{\Psi} = \mathbf{B}_0 + E_-(t)\mathbf{B}_- + \hat{\mathcal{T}}^{-1} (\nabla\Psi_i \times \hat{\mathcal{T}}\nabla\Psi_i),$$

$$\boldsymbol{\Psi} = \sum_{n=1}^{\infty} \boldsymbol{\Psi}^{(n)} = \boldsymbol{\Psi}^{(1)} + \boldsymbol{\Psi}^{(2)} + \boldsymbol{\Psi}^{(3)} + \dots,$$

$$\boldsymbol{\Psi} = \Delta^{-1} [\nabla(\nabla \cdot \boldsymbol{\Psi}) - \nabla \times (\nabla \times \boldsymbol{\Psi})],$$

ラグランジュ摂動論の再帰的解法

$$\tilde{\Psi}^{(n)}(\mathbf{k}, t) = \frac{iD^n}{n!} \int_{\mathbf{k}_1 \dots \mathbf{k}_n = \mathbf{k}} L_n(\mathbf{k}_1, \dots, \mathbf{k}_n) \delta_0(\mathbf{k}_1) \cdots \delta_0(\mathbf{k}_n).$$

$$L_n(\mathbf{k}_1, \dots, \mathbf{k}_n) = \frac{1}{k_{1\dots n}^2} [k_{1\dots n} S_n(\mathbf{k}_1, \dots, \mathbf{k}_n) + \mathbf{k}_{1\dots n} \times T_n(\mathbf{k}_1, \dots, \mathbf{k}_n)].$$

$$U(\mathbf{k}_1, \mathbf{k}_2) = \frac{|\mathbf{k}_1 \times \mathbf{k}_2|^2}{k_1^2 k_2^2} = 1 - \left(\frac{\mathbf{k}_1 \cdot \mathbf{k}_2}{k_1 k_2} \right)^2,$$

$$V(\mathbf{k}_1, \mathbf{k}_2, \mathbf{k}_3) = \frac{|\mathbf{k}_1 \cdot (\mathbf{k}_2 \times \mathbf{k}_3)|^2}{k_1^2 k_2^2 k_3^2} = 1 - \left(\frac{\mathbf{k}_1 \cdot \mathbf{k}_2}{k_1 k_2} \right)^2 - \left(\frac{\mathbf{k}_2 \cdot \mathbf{k}_3}{k_2 k_3} \right)^2 - \left(\frac{\mathbf{k}_3 \cdot \mathbf{k}_1}{k_3 k_1} \right)^2 + 2 \frac{(\mathbf{k}_1 \cdot \mathbf{k}_2)(\mathbf{k}_2 \cdot \mathbf{k}_3)(\mathbf{k}_3 \cdot \mathbf{k}_1)}{k_1^2 k_2^2 k_3^2},$$

$$W(\mathbf{k}_1, \mathbf{k}_2) = \frac{(\mathbf{k}_1 \times \mathbf{k}_2)(\mathbf{k}_1 \cdot \mathbf{k}_2)}{k_1^2 k_2^2}.$$

$$S_1(\mathbf{k}) = 1, \quad T_1(\mathbf{k}) = \mathbf{0}.$$

$$S_2(\mathbf{k}_1, \mathbf{k}_2) = \frac{3}{7} U(\mathbf{k}_1, \mathbf{k}_2), \quad T_2(\mathbf{k}_1, \mathbf{k}_2) = \mathbf{0}.$$

$$S_3(\mathbf{k}_1, \mathbf{k}_2, \mathbf{k}_3) = \frac{5}{3} U(\mathbf{k}_1, \mathbf{k}_2) S_2(\mathbf{k}_2, \mathbf{k}_3) - \frac{1}{3} V(\mathbf{k}_1, \mathbf{k}_2, \mathbf{k}_3),$$

$$T_3(\mathbf{k}_1, \mathbf{k}_2, \mathbf{k}_3) = W(\mathbf{k}_1, \mathbf{k}_2) S_2(\mathbf{k}_2, \mathbf{k}_3).$$

$$\begin{aligned}
S_4(\mathbf{k}_1, \dots, \mathbf{k}_4) &= \frac{28}{11} \left[U(\mathbf{k}_1, \mathbf{k}_{234}) S_3(\mathbf{k}_2, \mathbf{k}_3, \mathbf{k}_4) - W(\mathbf{k}_1, \mathbf{k}_{234}) \cdot T_3(\mathbf{k}_2, \mathbf{k}_3, \mathbf{k}_4) \right] \\
&\quad + \frac{17}{11} U(\mathbf{k}_{12}, \mathbf{k}_{34}) S_2(\mathbf{k}_1, \mathbf{k}_2) S_2(\mathbf{k}_3, \mathbf{k}_4) - \frac{26}{11} V(\mathbf{k}_1, \mathbf{k}_2, \mathbf{k}_{34}) S_2(\mathbf{k}_3, \mathbf{k}_4), \\
T_4(\mathbf{k}_1, \dots, \mathbf{k}_4) &= 2 \left[W(\mathbf{k}_1, \mathbf{k}_{234}) S_3(\mathbf{k}_2, \mathbf{k}_3, \mathbf{k}_4) + \frac{\mathbf{k}_1 \times \mathbf{k}_{234}}{k_1^2 k_{234}^2} (\mathbf{k}_1 \times \mathbf{k}_{234}) \cdot T_3(\mathbf{k}_2, \mathbf{k}_3, \mathbf{k}_4) \right].
\end{aligned}$$

$$\begin{aligned}
S_5(\mathbf{k}_1, \dots, \mathbf{k}_5) &= \frac{45}{13} \left[U(\mathbf{k}_1, \mathbf{k}_{2345}) S_4(\mathbf{k}_2, \dots, \mathbf{k}_5) - W(\mathbf{k}_1, \mathbf{k}_{2345}) \cdot T_4(\mathbf{k}_2, \dots, \mathbf{k}_5) \right] \\
&\quad + \frac{70}{13} S_2(\mathbf{k}_1, \mathbf{k}_2) \left[U(\mathbf{k}_{12}, \mathbf{k}_{345}) S_3(\mathbf{k}_3, \mathbf{k}_4, \mathbf{k}_5) - W(\mathbf{k}_{12}, \mathbf{k}_{345}) \cdot T_3(\mathbf{k}_3, \mathbf{k}_4, \mathbf{k}_5) \right] \\
&\quad - \frac{60}{13} \left\{ V(\mathbf{k}_1, \mathbf{k}_2, \mathbf{k}_{345}) S_3(\mathbf{k}_3, \mathbf{k}_4, \mathbf{k}_5) + \frac{(\mathbf{k}_1 \times \mathbf{k}_2) \cdot \mathbf{k}_{345}}{k_1^2 k_2^2 k_{345}^2} [(\mathbf{k}_1 \times \mathbf{k}_2) \times \mathbf{k}_{345}] \cdot T_3(\mathbf{k}_3, \mathbf{k}_4, \mathbf{k}_5) \right\} \\
&\quad - \frac{75}{13} V(\mathbf{k}_1, \mathbf{k}_{23}, \mathbf{k}_{45}) S_2(\mathbf{k}_2, \mathbf{k}_3) S_2(\mathbf{k}_4, \mathbf{k}_5), \\
T_5(\mathbf{k}_1, \dots, \mathbf{k}_5) &= 3 \left[W(\mathbf{k}_1, \mathbf{k}_{2345}) S_4(\mathbf{k}_2, \dots, \mathbf{k}_5) + \frac{\mathbf{k}_1 \times \mathbf{k}_{2345}}{k_1^2 k_{2345}^2} (\mathbf{k}_1 \times \mathbf{k}_{2345}) \cdot T_4(\mathbf{k}_2, \dots, \mathbf{k}_5) \right] \\
&\quad + 2 S_2(\mathbf{k}_1, \mathbf{k}_2) \left[W(\mathbf{k}_{12}, \mathbf{k}_{345}) S_3(\mathbf{k}_3, \mathbf{k}_4, \mathbf{k}_5) + \frac{\mathbf{k}_{12} \times \mathbf{k}_{345}}{k_{12}^2 k_{345}^2} (\mathbf{k}_{12} \times \mathbf{k}_{345}) \cdot T_3(\mathbf{k}_3, \mathbf{k}_4, \mathbf{k}_5) \right].
\end{aligned}$$

$$\begin{aligned}
S_6(\mathbf{k}_1, \dots, \mathbf{k}_6) = & \frac{22}{5} \left[U(\mathbf{k}_1, \mathbf{k}_{23456}) S_5(\mathbf{k}_2, \dots, \mathbf{k}_6) - W(\mathbf{k}_1, \mathbf{k}_{23456}) \cdot T_5(\mathbf{k}_2, \dots, \mathbf{k}_6) \right] \\
& + \frac{43}{5} S_2(\mathbf{k}_1, \mathbf{k}_2) \left[U(\mathbf{k}_{12}, \mathbf{k}_{3456}) S_4(\mathbf{k}_3, \dots, \mathbf{k}_6) - W(\mathbf{k}_{12}, \mathbf{k}_{3456}) \cdot T_4(\mathbf{k}_3, \dots, \mathbf{k}_6) \right] \\
& + \frac{26}{5} \left[S_3(\mathbf{k}_1, \mathbf{k}_2, \mathbf{k}_3) [U(\mathbf{k}_{123}, \mathbf{k}_{456}) S_3(\mathbf{k}_4, \mathbf{k}_5, \mathbf{k}_6) - 2W(\mathbf{k}_{123}, \mathbf{k}_{456}) \cdot T_3(\mathbf{k}_4, \mathbf{k}_5, \mathbf{k}_6)] \right. \\
& \quad \left. + \frac{\mathbf{k}_{123} \times \mathbf{k}_{456}}{k_{123}^2 k_{456}^2} \cdot \{ [\mathbf{k}_{123} \times T_3(\mathbf{k}_1, \mathbf{k}_2, \mathbf{k}_3)] \times [\mathbf{k}_{456} \times T_3(\mathbf{k}_4, \mathbf{k}_5, \mathbf{k}_6)] \} \right] \\
& - \frac{39}{5} \left\{ V(\mathbf{k}_1, \mathbf{k}_2, \mathbf{k}_{3456}) S_4(\mathbf{k}_3, \dots, \mathbf{k}_6) + \frac{(\mathbf{k}_1 \times \mathbf{k}_2) \cdot \mathbf{k}_{3456}}{k_1^2 k_2^2 k_{3456}^2} [(\mathbf{k}_1 \times \mathbf{k}_2) \times \mathbf{k}_{3456}] \cdot T_4(\mathbf{k}_3, \dots, \mathbf{k}_6) \right\} \\
& - \frac{124}{5} S_2(\mathbf{k}_2, \mathbf{k}_3) \left\{ V(\mathbf{k}_1, \mathbf{k}_{23}, \mathbf{k}_{456}) S_3(\mathbf{k}_4, \mathbf{k}_5, \mathbf{k}_6) + \frac{(\mathbf{k}_1 \times \mathbf{k}_{23}) \cdot \mathbf{k}_{456}}{k_1^2 k_{23}^2 k_{456}^2} [(\mathbf{k}_1 \times \mathbf{k}_{23}) \times \mathbf{k}_{456}] \cdot T_3(\mathbf{k}_4, \mathbf{k}_5, \mathbf{k}_6) \right\} \\
& - \frac{27}{5} V(\mathbf{k}_{12}, \mathbf{k}_{34}, \mathbf{k}_{56}) S_2(\mathbf{k}_1, \mathbf{k}_2) S_2(\mathbf{k}_3, \mathbf{k}_4) S_2(\mathbf{k}_5, \mathbf{k}_6), \tag{B1}
\end{aligned}$$

$$\begin{aligned}
T_6(\mathbf{k}_1, \dots, \mathbf{k}_6) = & 4 \left[W(\mathbf{k}_1, \mathbf{k}_{23456}) S_5(\mathbf{k}_2, \dots, \mathbf{k}_6) + \frac{\mathbf{k}_1 \times \mathbf{k}_{23456}}{k_1^2 k_{23456}^2} (\mathbf{k}_1 \times \mathbf{k}_{23456}) \cdot T_5(\mathbf{k}_2, \dots, \mathbf{k}_6) \right] \\
& + 5 S_2(\mathbf{k}_1, \mathbf{k}_2) \left[W(\mathbf{k}_{12}, \mathbf{k}_{3456}) S_4(\mathbf{k}_3, \dots, \mathbf{k}_6) + \frac{\mathbf{k}_{12} \times \mathbf{k}_{3456}}{k_{12}^2 k_{3456}^2} (\mathbf{k}_{12} \times \mathbf{k}_{3456}) \cdot T_4(\mathbf{k}_3, \dots, \mathbf{k}_6) \right]. \tag{B2}
\end{aligned}$$

$$\begin{aligned}
S_7(k_1, \dots, k_7) = & \frac{91}{17} \left[U(k_1, k_{234567}) S_6(k_2, \dots, k_7) - W(k_1, k_{234567}) \cdot T_6(k_2, \dots, k_7) \right] \\
& + \frac{217}{17} S_2(k_1, k_2) \left[U(k_{12}, k_{34567}) S_5(k_3, \dots, k_7) - W(k_{12}, k_{34567}) \cdot T_5(k_3, \dots, k_7) \right] \\
& + \frac{315}{17} \left[U(k_{123}, k_{4567}) S_3(k_1, k_2, k_3) S_4(k_4, \dots, k_7) \right. \\
& \quad - W(k_{123}, k_{4567}) \cdot [S_3(k_1, k_2, k_3) T_4(k_4, \dots, k_7) - T_3(k_1, k_2, k_3) S_4(k_4, \dots, k_7)] \\
& \quad \left. + \frac{k_{123} \times k_{4567}}{k_{123}^2 k_{4567}^2} \cdot \{ [k_{123} \times T_3(k_1, k_2, k_3)] \times [k_{4567} \times T_4(k_4, \dots, k_7)] \} \right] \\
& - \frac{203}{17} \left\{ V(k_1, k_2, k_{34567}) S_4(k_3, \dots, k_7) + \frac{(k_1 \times k_2) \cdot k_{34567}}{k_1^2 k_2^2 k_{34567}^2} [(k_1 \times k_2) \times k_{34567}] \cdot T_5(k_3, \dots, k_7) \right\} \\
& - \frac{805}{17} S_2(k_2, k_3) \left\{ V(k_1, k_{23}, k_{4567}) S_4(k_4, \dots, k_7) + \frac{(k_1 \times k_{23}) \cdot k_{4567}}{k_1^2 k_{23}^2 k_{4567}^2} [(k_1 \times k_{23}) \times k_{4567}] \cdot T_4(k_4, \dots, k_7) \right\} \\
& - \frac{490}{17} \left[V(k_1, k_{234}, k_{567}) S_3(k_2, k_3, k_4) S_3(k_5, k_6, k_7) \right. \\
& \quad + 2S_3(k_2, k_3, k_4) \frac{(k_1 \times k_{234}) \cdot k_{567}}{k_1^2 k_{234}^2 k_{567}^2} [(k_1 \times k_{234}) \times k_{567}] \cdot T_3(k_5, k_6, k_7) \\
& \quad \left. + \frac{(k_1 \times k_{234}) \cdot k_{567}}{k_1^2 k_{234}^2 k_{567}^2} k_1 \cdot \{ [k_{234} \times T_3(k_2, k_3, k_4)] \times [k_{567} \times T_3(k_5, k_6, k_7)] \} \right] \\
& - \frac{665}{17} S_2(k_1, k_2) S_2(k_3, k_4) \left\{ V(k_{12}, k_{34}, k_{567}) S_3(k_5, k_6, k_7) \right. \\
& \quad \left. + \frac{(k_{12} \times k_{34}) \cdot k_{567}}{k_{12}^2 k_{34}^2 k_{567}^2} [(k_{12} \times k_{34}) \times k_{567}] \cdot T_3(k_5, k_6, k_7) \right\}, \tag{B17}
\end{aligned}$$

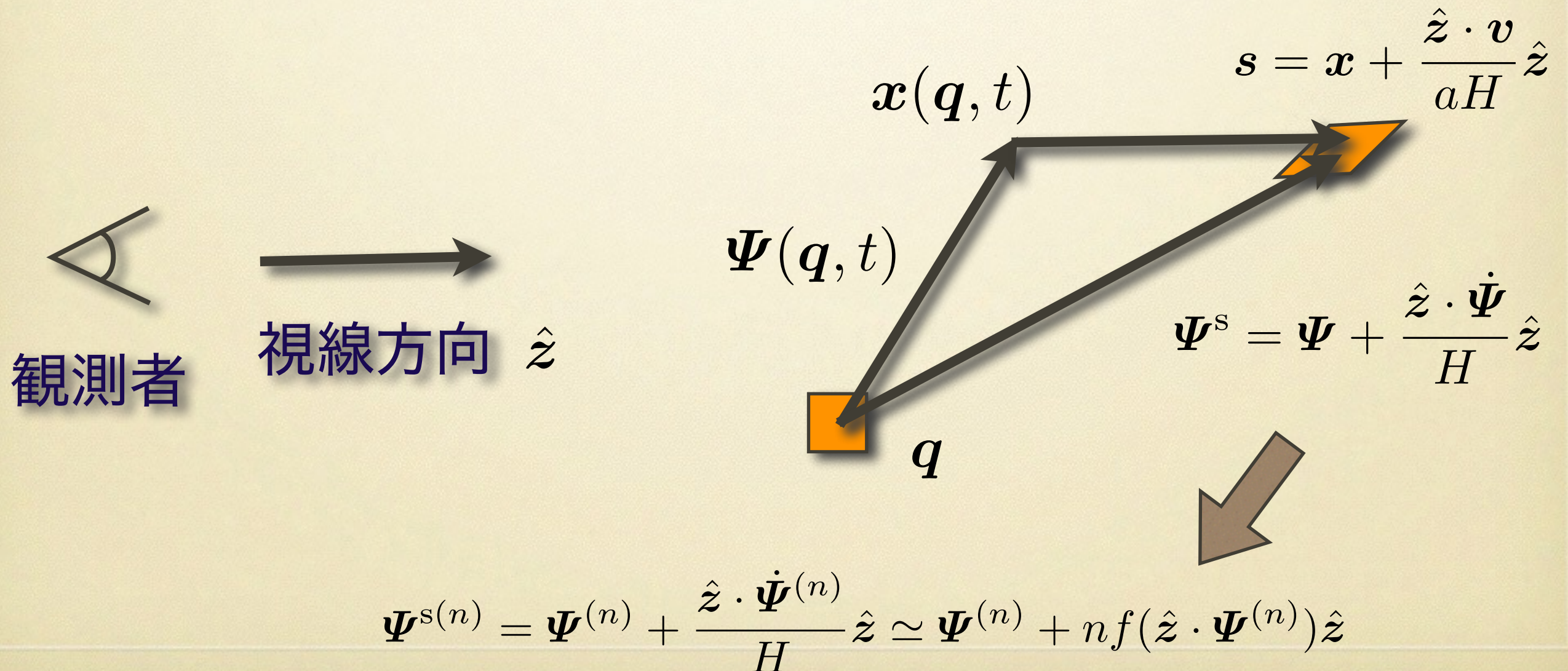
$$\begin{aligned}
T_7(k_1, \dots, k_7) = & 5 \left[W(k_1, k_{234567}) S_6(k_2, \dots, k_7) + \frac{k_1 \times k_{234567}}{k_1^2 k_{234567}^2} (k_1 \times k_{234567}) \cdot T_6(k_2, \dots, k_7) \right] \\
& + 9S_2(k_1, k_2) \left[W(k_{12}, k_{34567}) S_5(k_3, \dots, k_7) + \frac{k_{12} \times k_{34567}}{k_{12}^2 k_{34567}^2} (k_{12} \times k_{34567}) \cdot T_5(k_3, \dots, k_7) \right] \\
& + 5 \left[W(k_{123}, k_{4567}) S_3(k_1, k_2, k_3) S_4(k_4, \dots, k_7) \right. \\
& \quad + \frac{k_{123} \times k_{4567}}{k_{123}^2 k_{4567}^2} \{ (k_{123} \times k_{4567}) \cdot [S_3(k_1, k_2, k_3) T_4(k_4, \dots, k_7) - T_3(k_1, k_2, k_3) S_4(k_4, \dots, k_7)] \\
& \quad \left. + [k_{123} \times T_3(k_1, k_2, k_3)] \cdot [k_{4567} \times T_4(k_4, \dots, k_7)] \} \right]. \tag{B18}
\end{aligned}$$

赤方偏移空間

- ラグランジュ摂動論：赤方偏移空間への拡張が容易

- ラグランジュ変数では、実空間から赤方偏移空間への写像が厳密に線形
c.f.) オイラー変数では非線形写像

- ラグランジュ積分核を線形変換したものにするだけでOK



iPT

- 統合摂動論
- **integrated Perturbation Theory**

統合摂動論 (IPT) 要約

- オイラー空間の密度ゆらぎ (観測量) とラグランジュ変数の関係

$$1 + \delta_X(\mathbf{x}) = \int d^3q \left[1 + \delta_X^L(\mathbf{q}) \right] \delta_D^3[\mathbf{x} - \mathbf{q} - \boldsymbol{\Psi}(\mathbf{q})]$$

↑
オイラー空間
密度ゆらぎ

↑
ラグランジュ空間
バイアス

↑
変位ベクトル
(& 赤方偏移変形)

- フーリエ空間における摂動展開

$$\delta_X^L(\mathbf{k}) = \sum_{n=1}^{\infty} \frac{1}{n!} \int \frac{d^3k_1}{(2\pi)^3} \cdots \frac{d^3k_n}{(2\pi)^3} (2\pi)^3 \delta_D^3(\mathbf{k}_{1\dots n} - \mathbf{k}) b_n^L(\mathbf{k}_1, \dots, \mathbf{k}_n) \delta_L(\mathbf{k}_1) \cdots \delta_L(\mathbf{k}_n)$$

↑
ラグランジュ・バイアスの積分核

$$\tilde{\boldsymbol{\Psi}}(\mathbf{k}) = \sum_{n=1}^{\infty} \frac{i}{n!} \int \frac{d^3k_1}{(2\pi)^3} \cdots \frac{d^3k_n}{(2\pi)^3} (2\pi)^3 \delta_D^3(\mathbf{k}_{1\dots n} - \mathbf{k}) \mathbf{L}_n(\mathbf{k}_1, \dots, \mathbf{k}_n) \delta_L(\mathbf{k}_1) \cdots \delta_L(\mathbf{k}_n)$$

↑
変位ベクトル (& 赤方偏移変形) の積分核

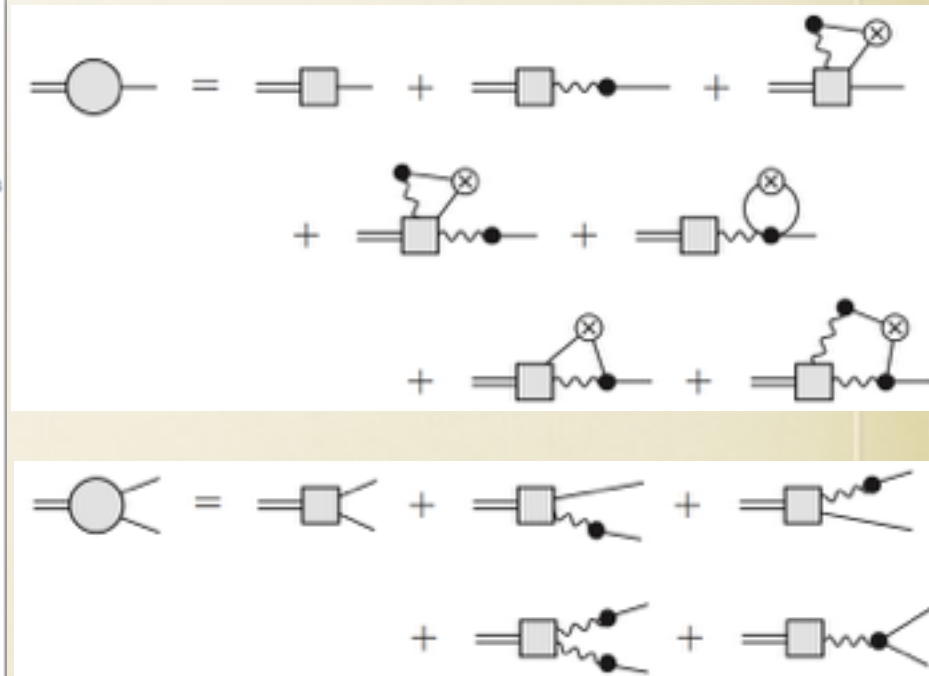
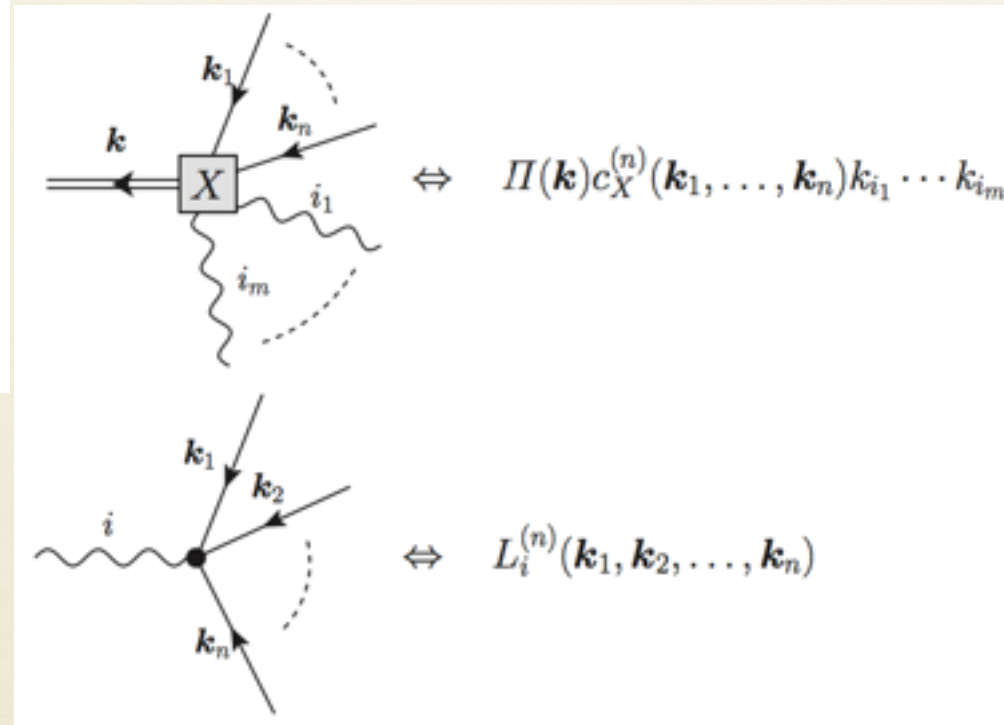
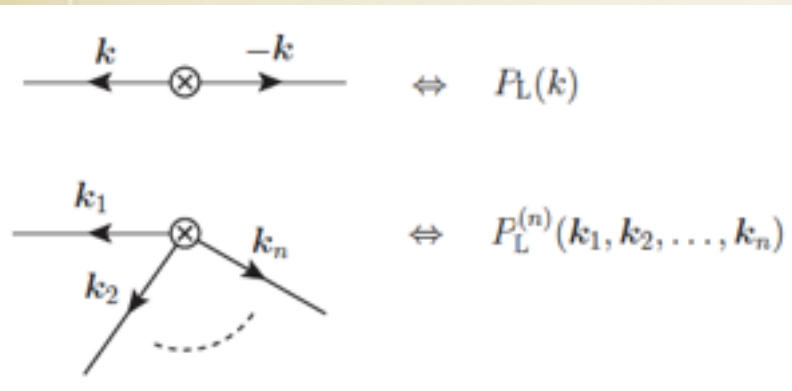
$$\mathbf{k}_{1\dots n} \equiv \mathbf{k}_1 + \cdots + \mathbf{k}_n$$

図形的方法

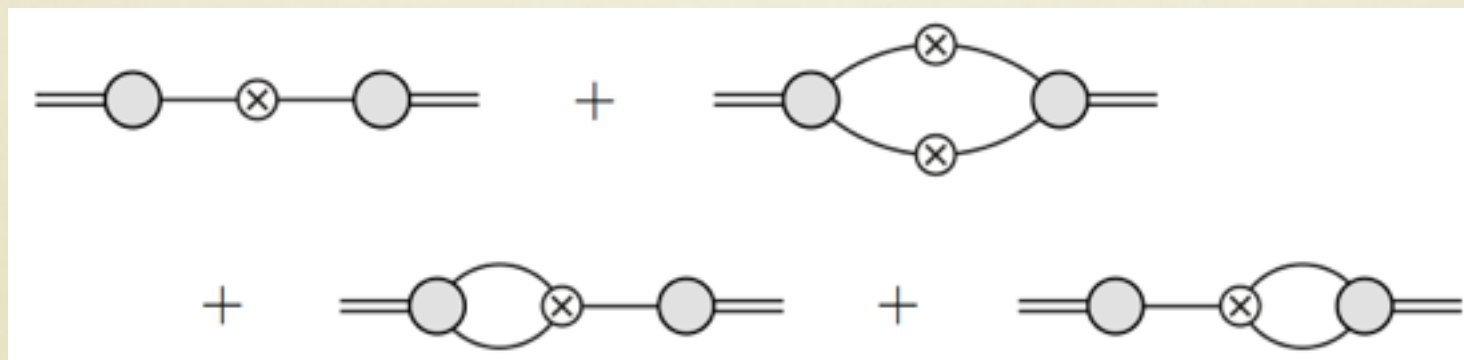
力学的進化とバイアス
+ resummation

Propagators

初期スペクトル



$$P(\mathbf{k}) =$$



RSD and nG included

くり込まれたバイアス関数

- くり込まれたバイアス関数 (TM 2011)
 - Renormalized bias functions
 - 非局所バイアスを特徴づける重要な関数群

$$c_n^L(\mathbf{k}_1, \dots, \mathbf{k}_n) = (2\pi)^{3n} \int \frac{d^3k}{(2\pi)^3} \left\langle \frac{\delta^n \delta_X^L(\mathbf{k})}{\delta\delta_L(\mathbf{k}_1) \cdots \delta\delta_L(\mathbf{k}_n)} \right\rangle,$$

- ラグランジュ空間におけるバイアスの頂点くり込み関数 (多点プロパゲータ) に対応

$$\left\langle \frac{\delta^n \delta_X^L(\mathbf{k})}{\delta\delta_L(\mathbf{k}_1) \cdots \delta\delta_L(\mathbf{k}_n)} \right\rangle = (2\pi)^{3-3n} \delta_D^3(\mathbf{k}_{1\dots n} - \mathbf{k}) c_n^L(\mathbf{k}_1, \dots, \mathbf{k}_n).$$

(A)

- 摂動論に基づく非線形力学進化には理論的な不定性はない（非線形領域へ外挿しなければ）
- バイアスの不定性は制御可能
 - 大スケールの振る舞いはバイアスの詳細にはよらない
 - 非線形領域へ行くほど、バイアスを正確に表すよいモデルが必要

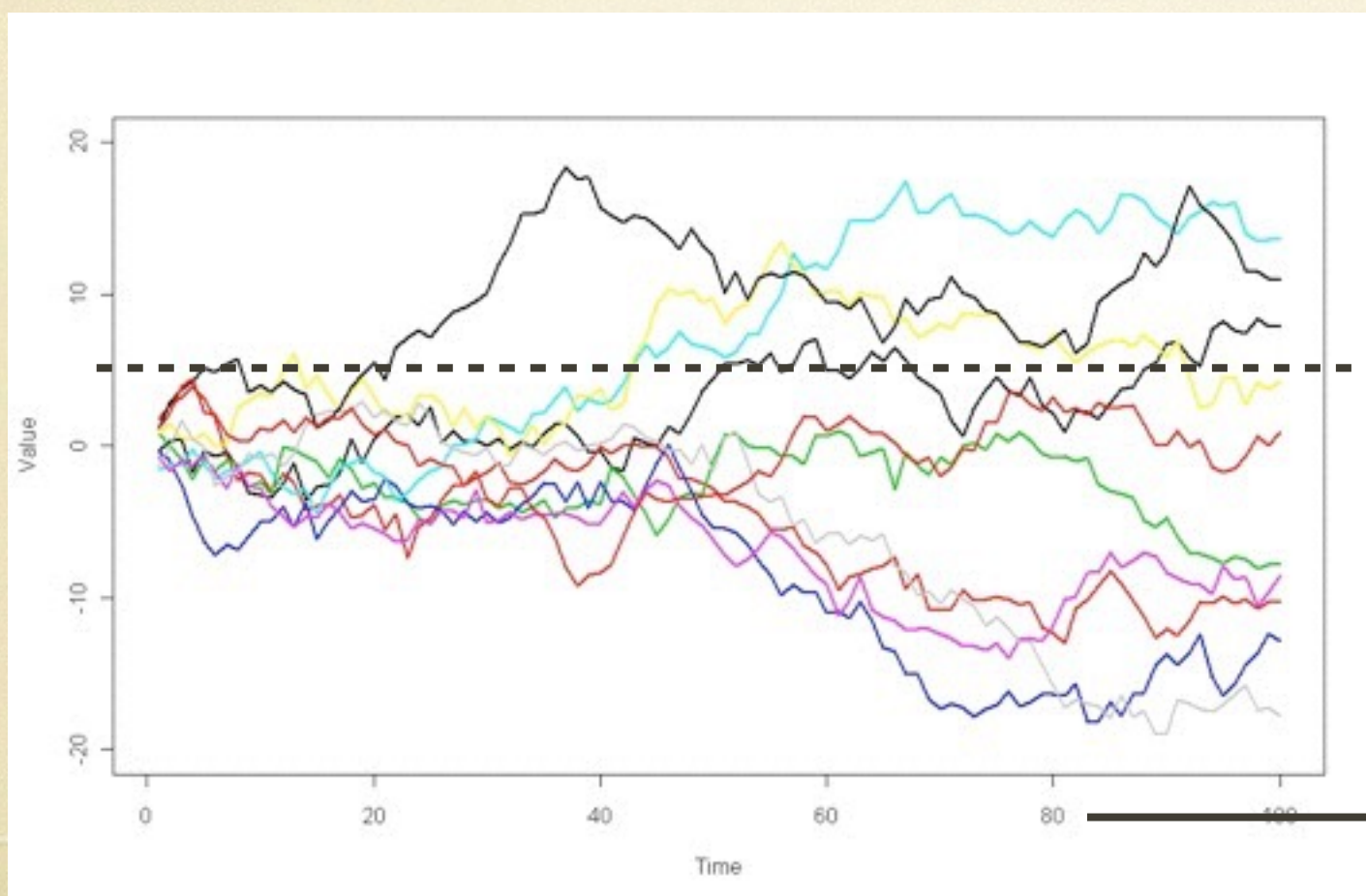
くり込まれたバイアス関数のモデル計算 1 : PS theory に基づいたハローモデル

- ハローモデルの考え方を元にした簡単なモデルにおいて、くり込まれたバイアス関数を導出した結果：

$$c_1^L(k) = b_1^L W(kR) + \frac{1}{\delta_c} \frac{\partial W(kR)}{\partial \ln \sigma_M}$$

$$c_2^L(\mathbf{k}_1, \mathbf{k}_2) = b_2^L W(k_1 R) W(k_2 R) + \frac{\delta_c b_1^L + 1}{\delta_c^2} \frac{\partial}{\partial \ln \sigma_M} [W(k_1 R) W(k_2 R)]$$

δ_M



bias nonlocality

ハローモデル：
質量スケールで平均したゆらぎが臨界値を上回ったらその質量スケールの天体が形成されたと考える

$1/R$

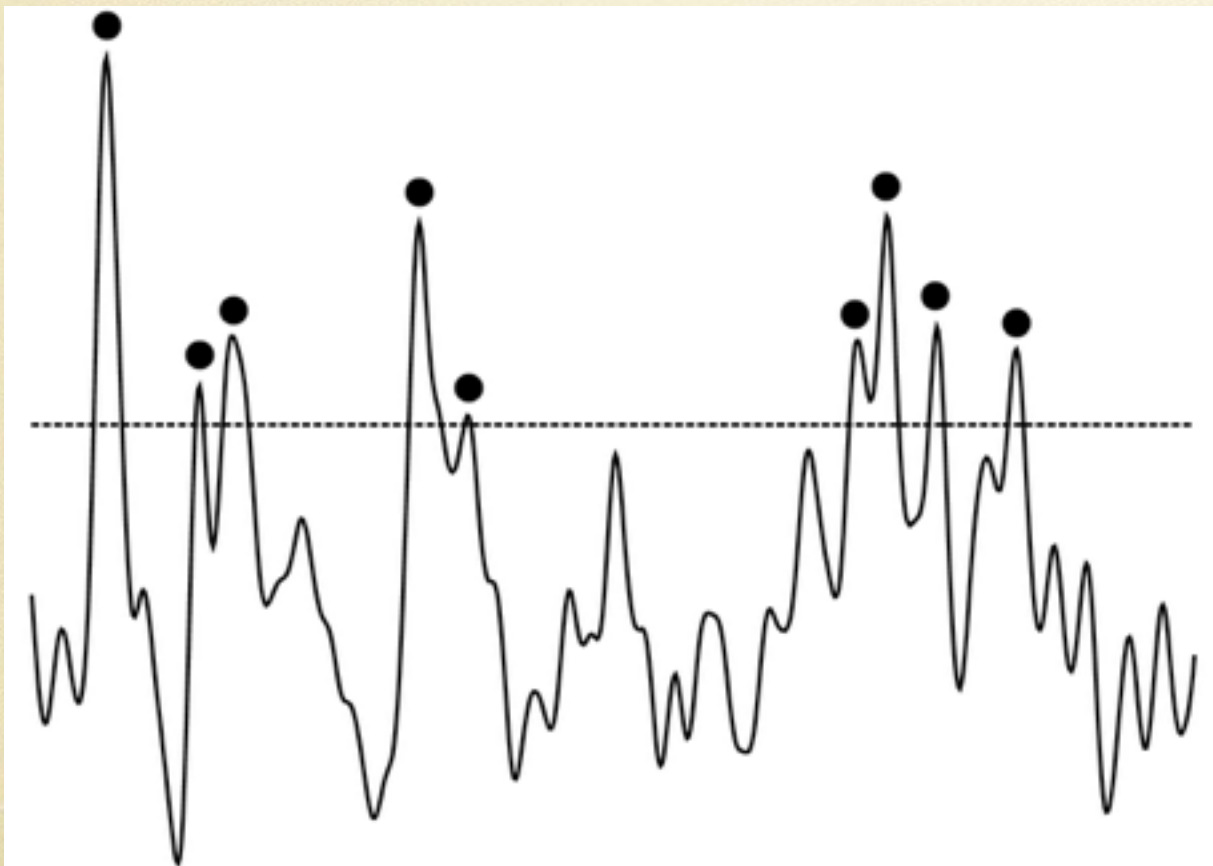
くり込まれたバイアス関数のモデル計算：2

Peaks モデル

- ある質量スケールでスムージングした密度ゆらぎのピークが天体になっているというピーク・モデルにおいて、くり込まれたバイアス関数を導出した結果：

$$c_1^L(k) = W(kR) [b_{10} + b_{11}k^2]$$

$$c_2^L(\mathbf{k}_1, \mathbf{k}_2) = W(k_1R)W(k_2R) \left\{ b_{20} + b_{11}(k_1^2 + k_2^2) + b_{02}k_1^2k_2^2 - 2\chi_1(\mathbf{k}_1 \cdot \mathbf{k}_2) + \omega_{10} [3(\mathbf{k}_1 \cdot \mathbf{k}_2)^2 - k_1^2k_2^2] \right\}$$



$$b_{ij} \equiv \frac{1}{\sigma_0^i \sigma_2^j \bar{n}_{\text{pk}}} \int d^{10}y n_{\text{pk}} H_{ij}(\nu, J_1) \mathcal{P},$$

$$\chi_k \equiv \frac{(-1)^k}{\sigma_1^{2k} \bar{n}_{\text{pk}}} \int d^{10}y n_{\text{pk}} L_k^{(1/2)} \left(\frac{3}{2} \eta^2 \right) \mathcal{P},$$

$$\omega_{10} \equiv \frac{(-1)^l}{\sigma_2^{2l} \bar{n}_{\text{pk}}} \int d^{10}y n_{\text{pk}} L_l^{(3/2)} \left(\frac{5}{2} J_2 \right) \mathcal{P}.$$

$$n_{\text{pk}} = \frac{3^{3/2}}{R_*^3} \delta_D(\nu - \nu_c) \delta_D^3(\boldsymbol{\eta}) \Theta(\lambda_3) |\det \boldsymbol{\zeta}|,$$

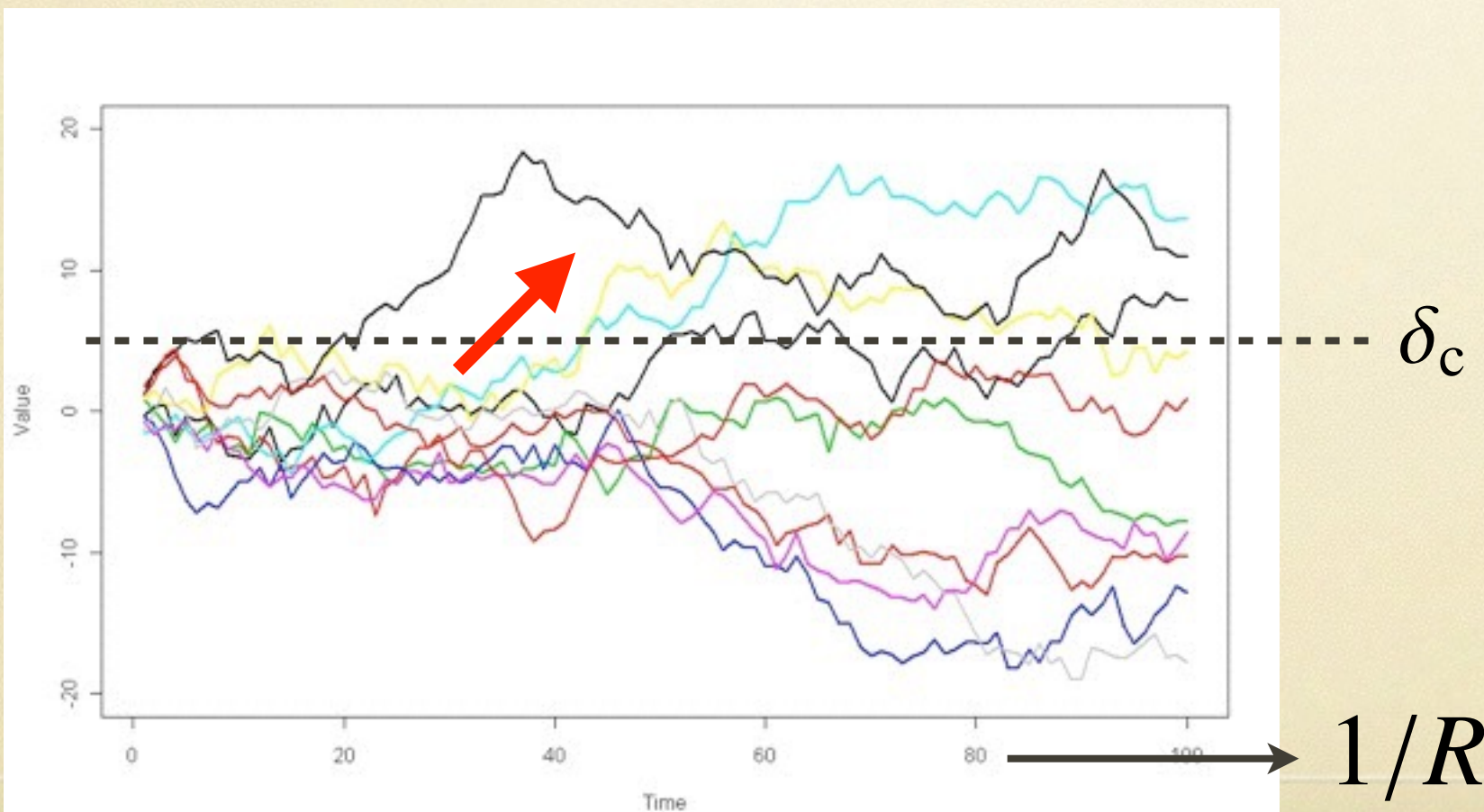
くり込まれたバイアス関数のモデル計算：3

Excursion Set Peaks モデル

- ・ハローモデルとピーク理論の考え方を組み合わせたExcursion Set Peaks (ESP) モデルにおいて、くり込まれたバイアス関数を導出した結果：

$$c_X^{(1)}(k) = b_{100}W(kR) + b_{010}k^2\bar{W}(k\bar{R}) - b_{001}kW'(kR),$$
$$c_X^{(2)}(\mathbf{k}_1, \mathbf{k}_2) = b_{200}W(k_1R)W(k_2R) + b_{110} \left[k_2^2W(k_1R)\bar{W}(k_2\bar{R}) + (1 \leftrightarrow 2) \right]$$
$$+ \left\{ b_{020}k_1^2k_2^2 + \omega_{10} \left[3(\mathbf{k}_1 \cdot \mathbf{k}_2)^2 - k_1^2k_2^2 \right] - 2\chi_1(\mathbf{k}_1 \cdot \mathbf{k}_2) \right\} \bar{W}(k_1\bar{R})\bar{W}(k_2\bar{R})$$
$$- b_{101} \left[k_1W'(k_1R)W(k_2R) + (1 \leftrightarrow 2) \right] - b_{011} \left[k_1k_2^2W'(k_1R)\bar{W}(k_2\bar{R}) + (1 \leftrightarrow 2) \right] + b_{002}k_1k_2W'(k_1R)W'(k_2R),$$

δ_M

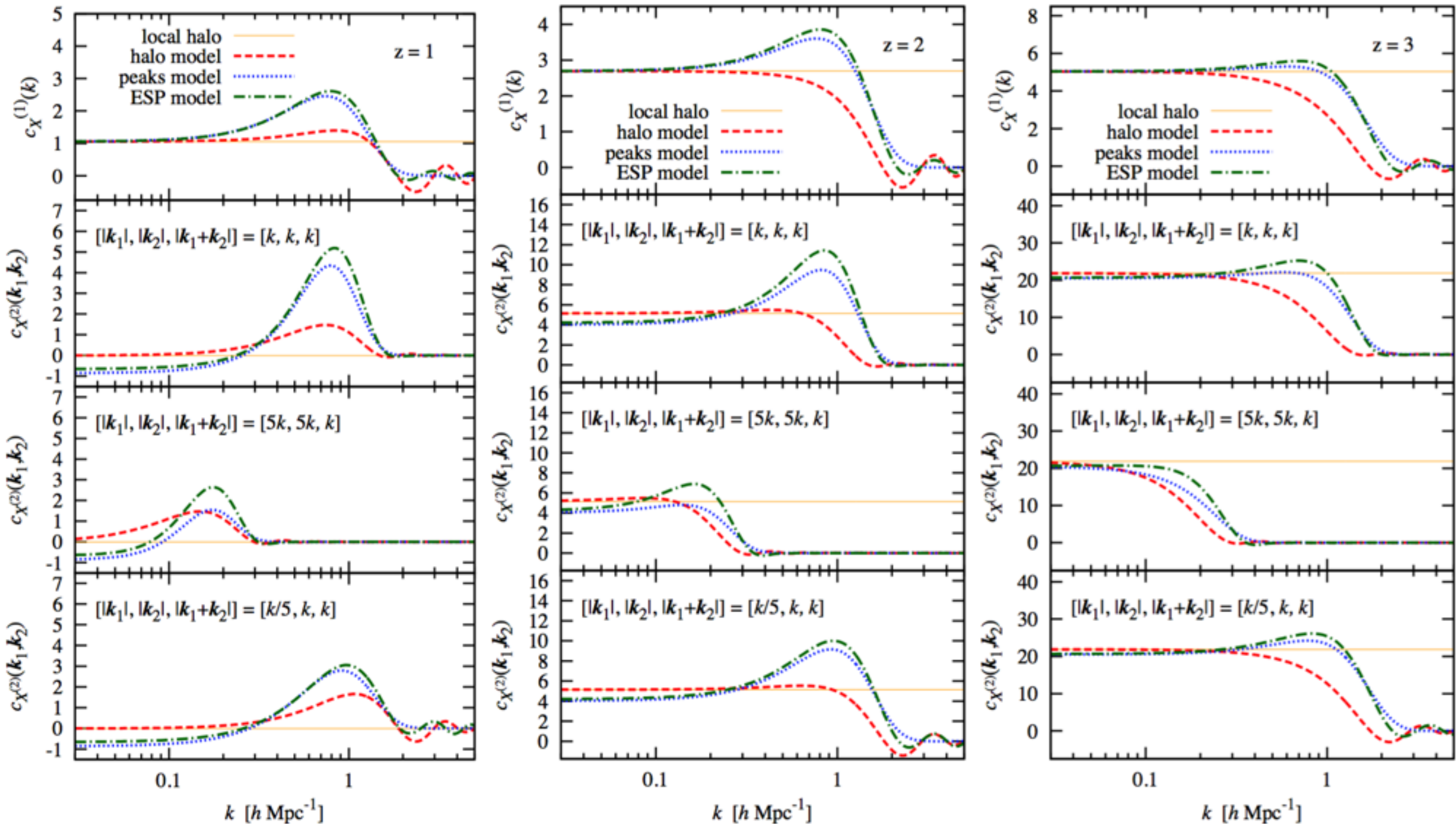


δ_c

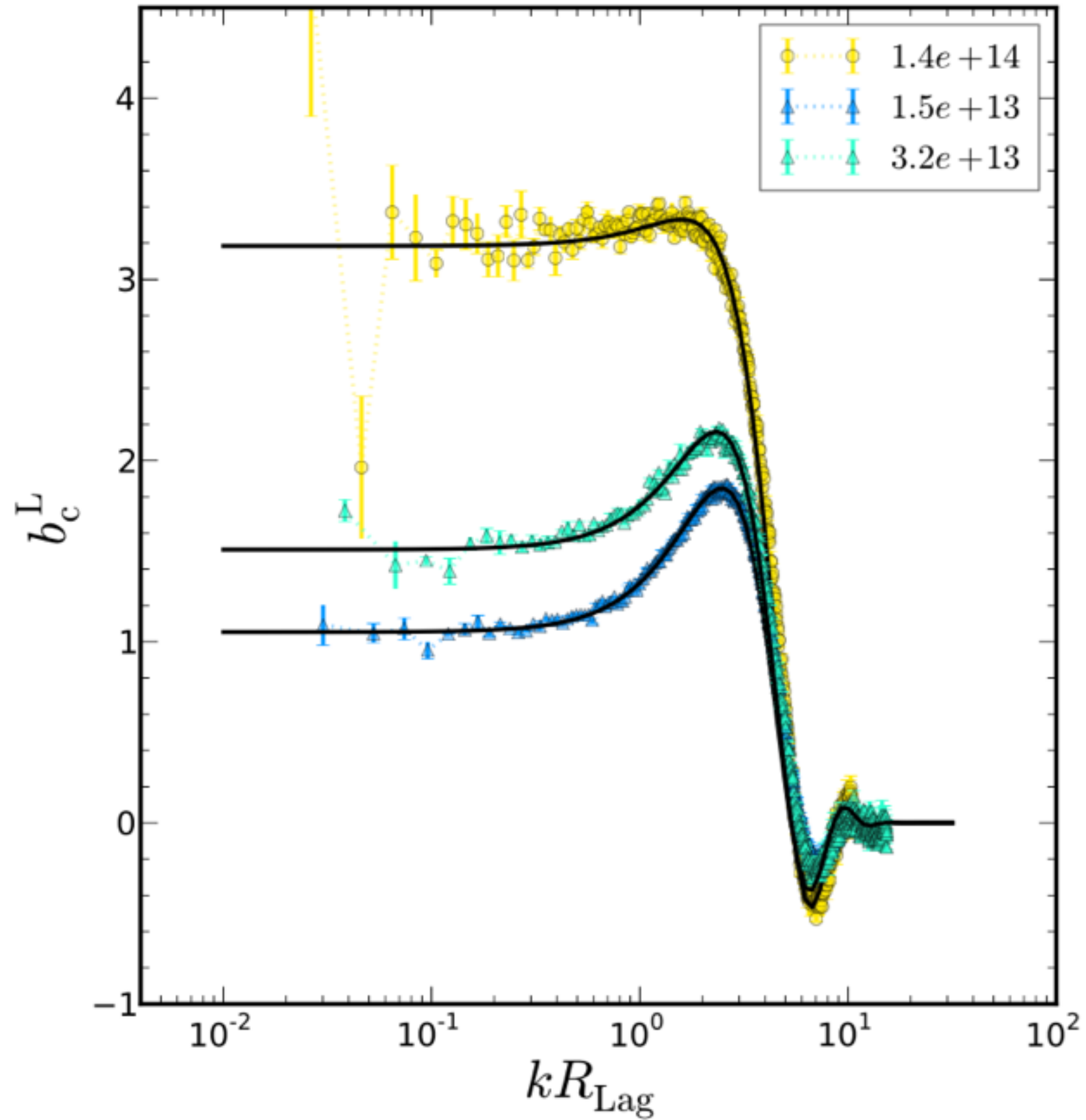
$1/R$

PeaksモデルにExcursion set theory (Press-Schechter理論の拡張)を組み合わせてup-crossing条件を取り入れたモデル：最近注目
Apple&Jones1990,
Desjacques2013,
Paranjape&Seth2013, Gong,
Biagetti, Riotto,...

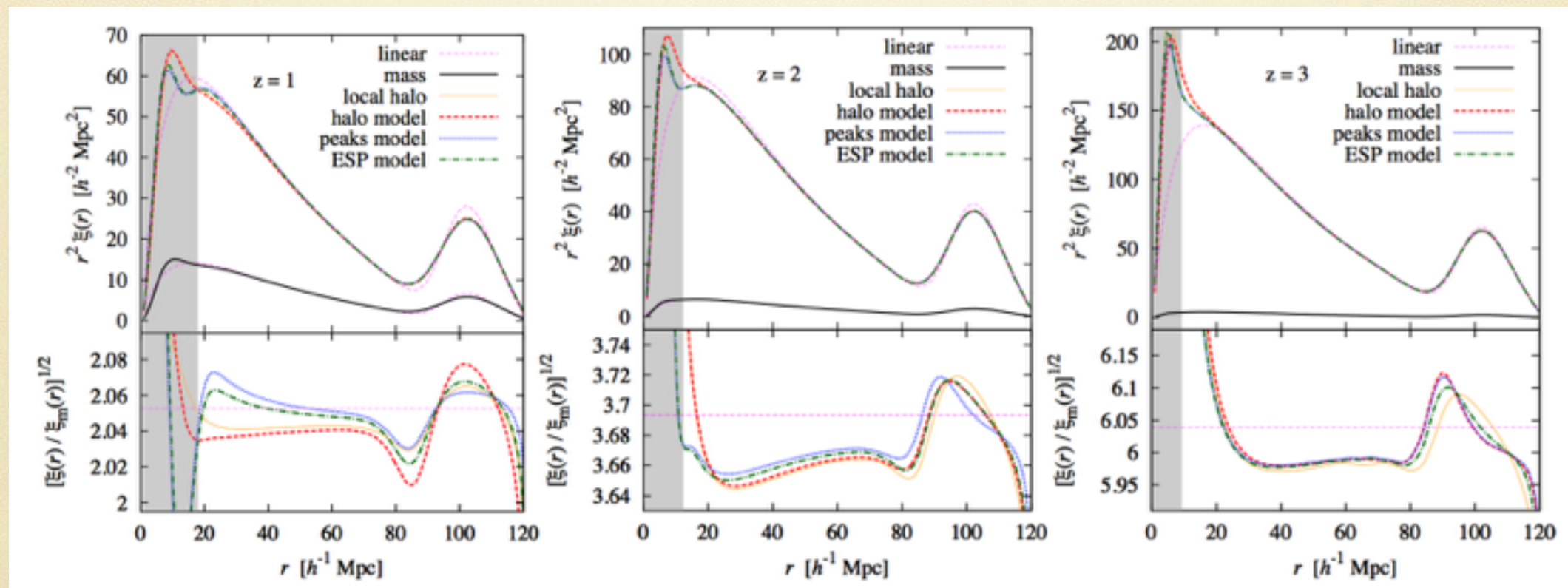
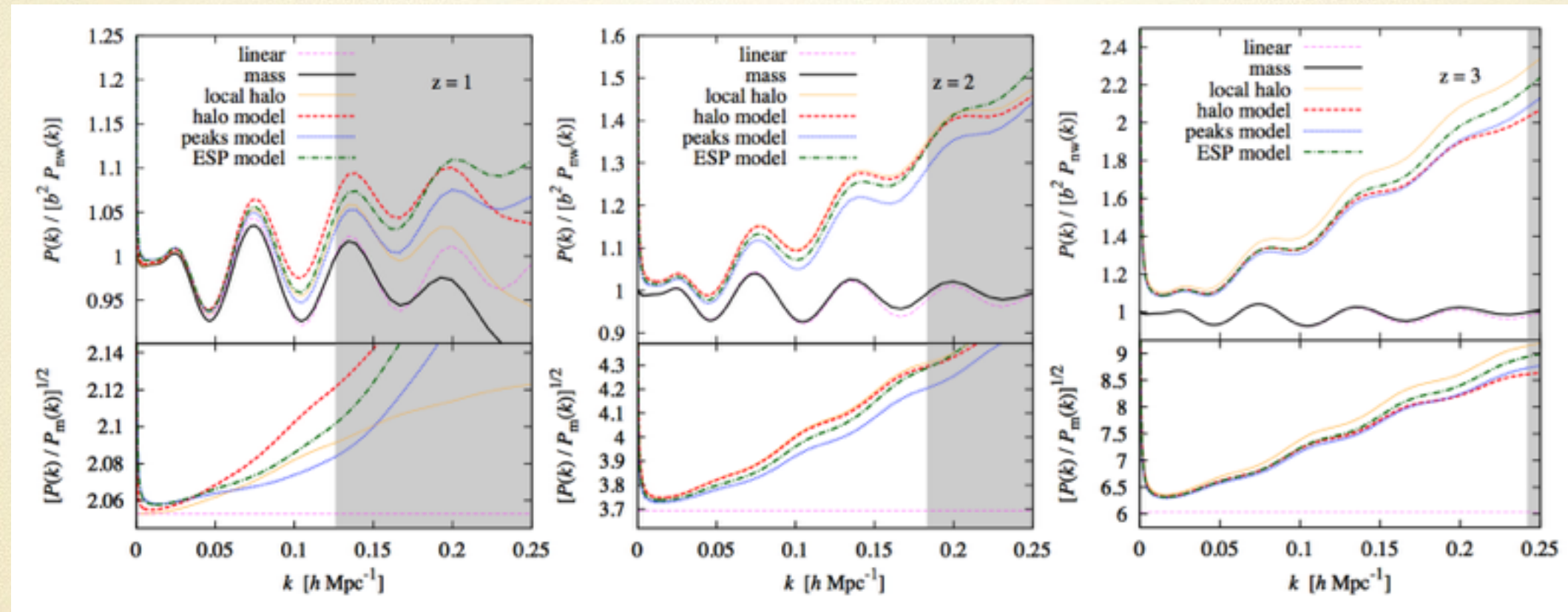
Renormalized bias functions



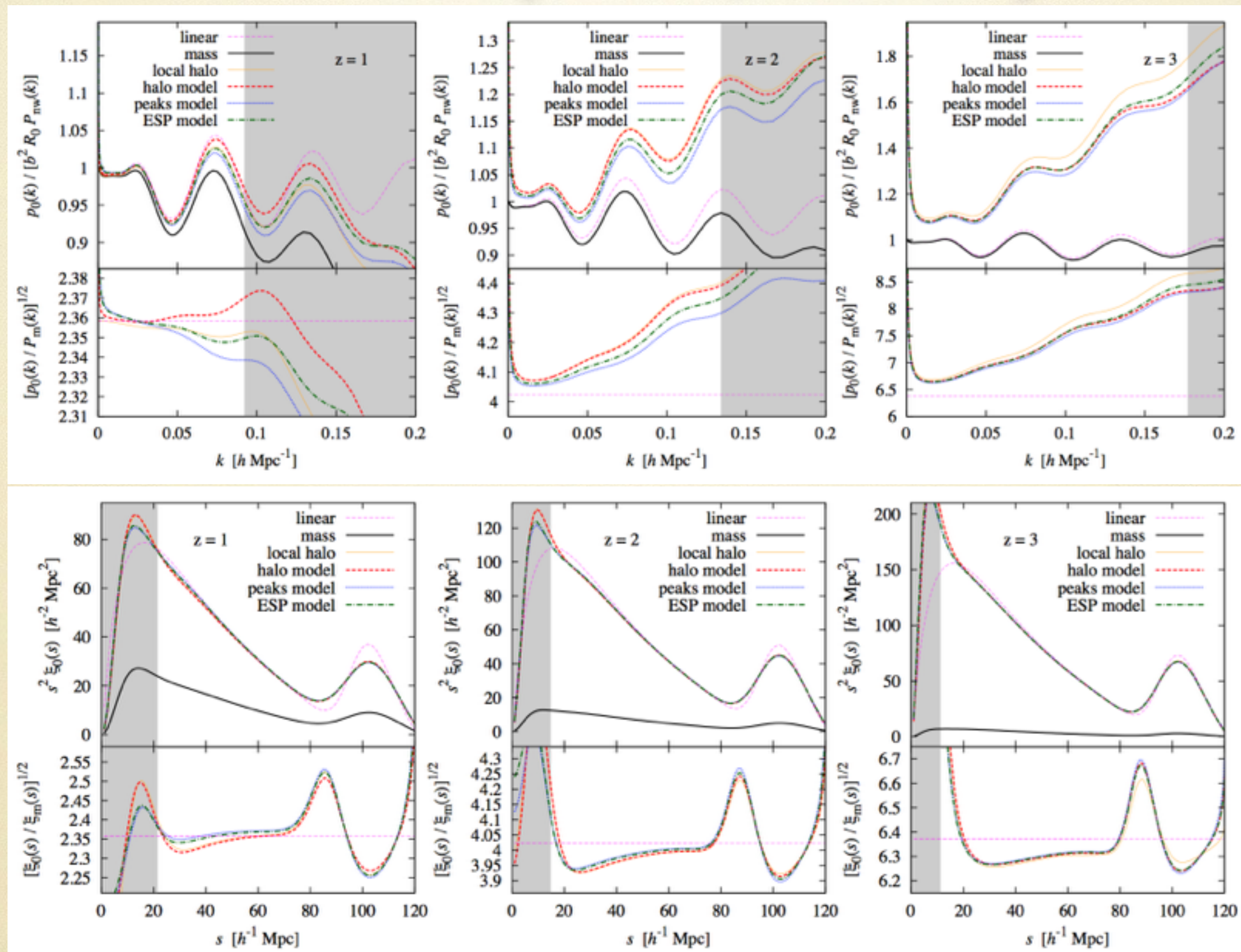
$z = 0.97$



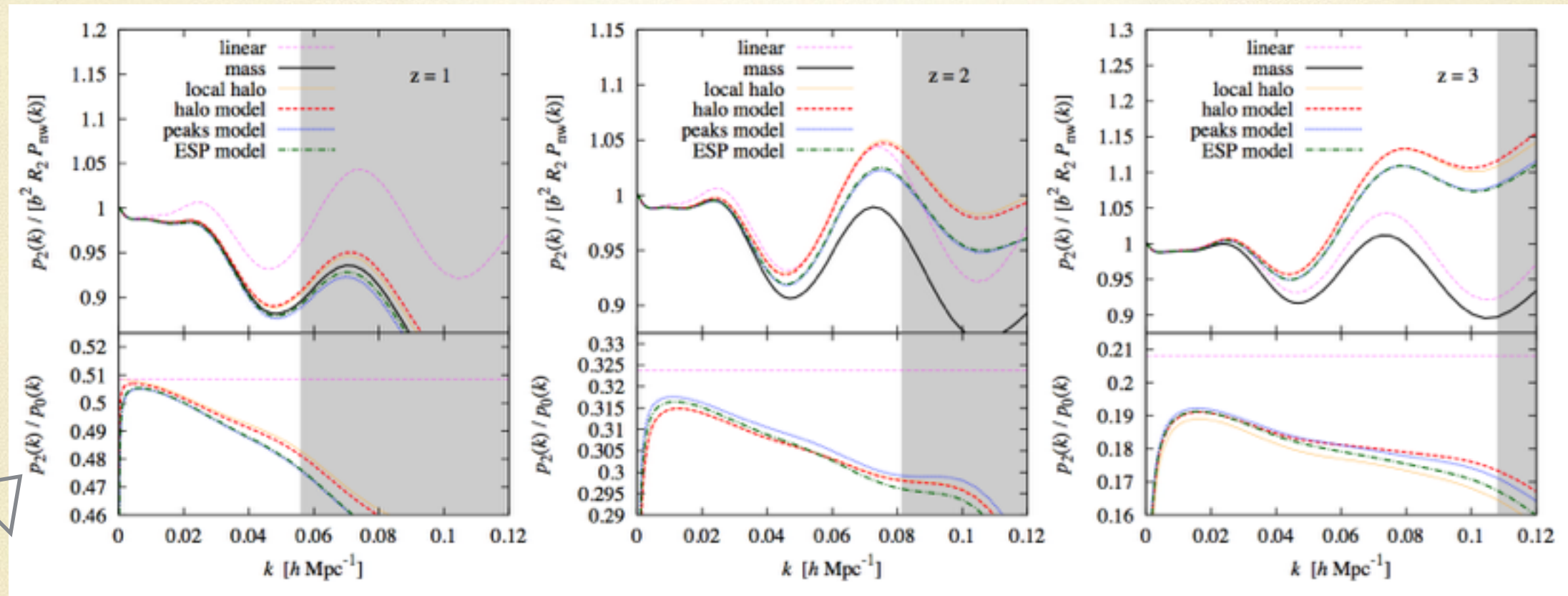
Power spectra & correlation functions



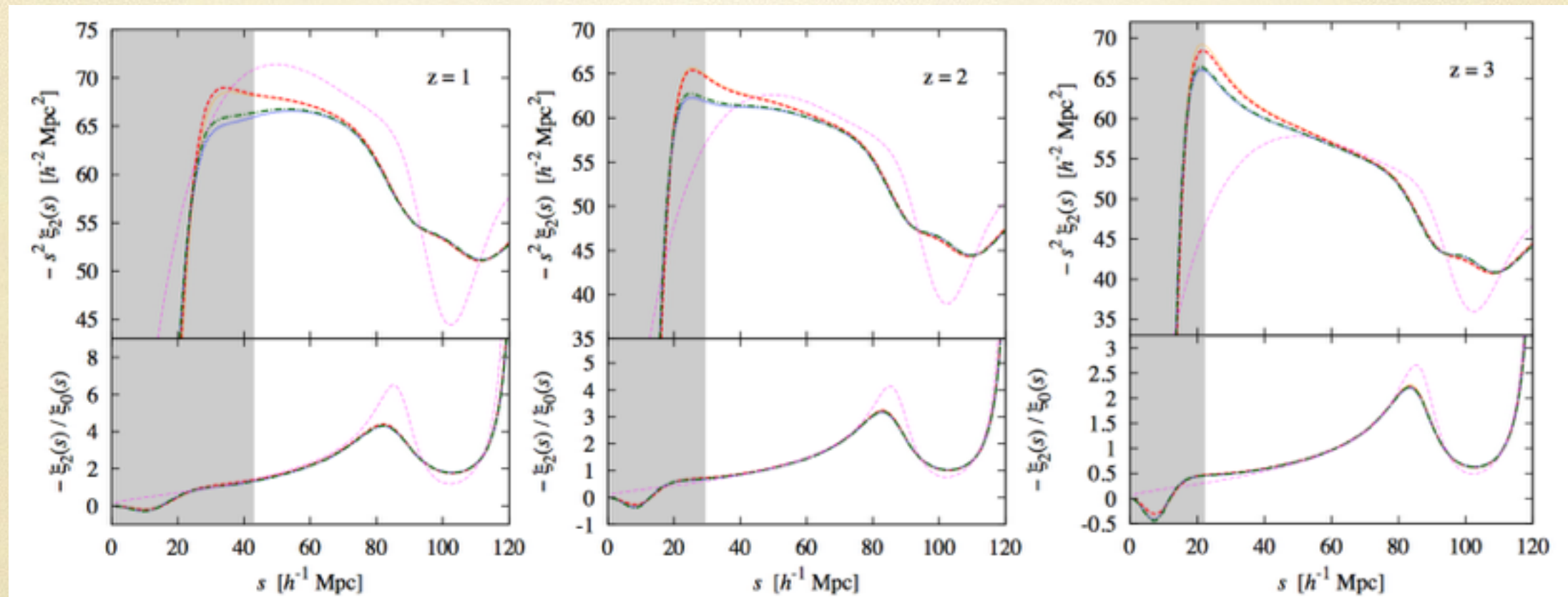
Redshift space, monopole



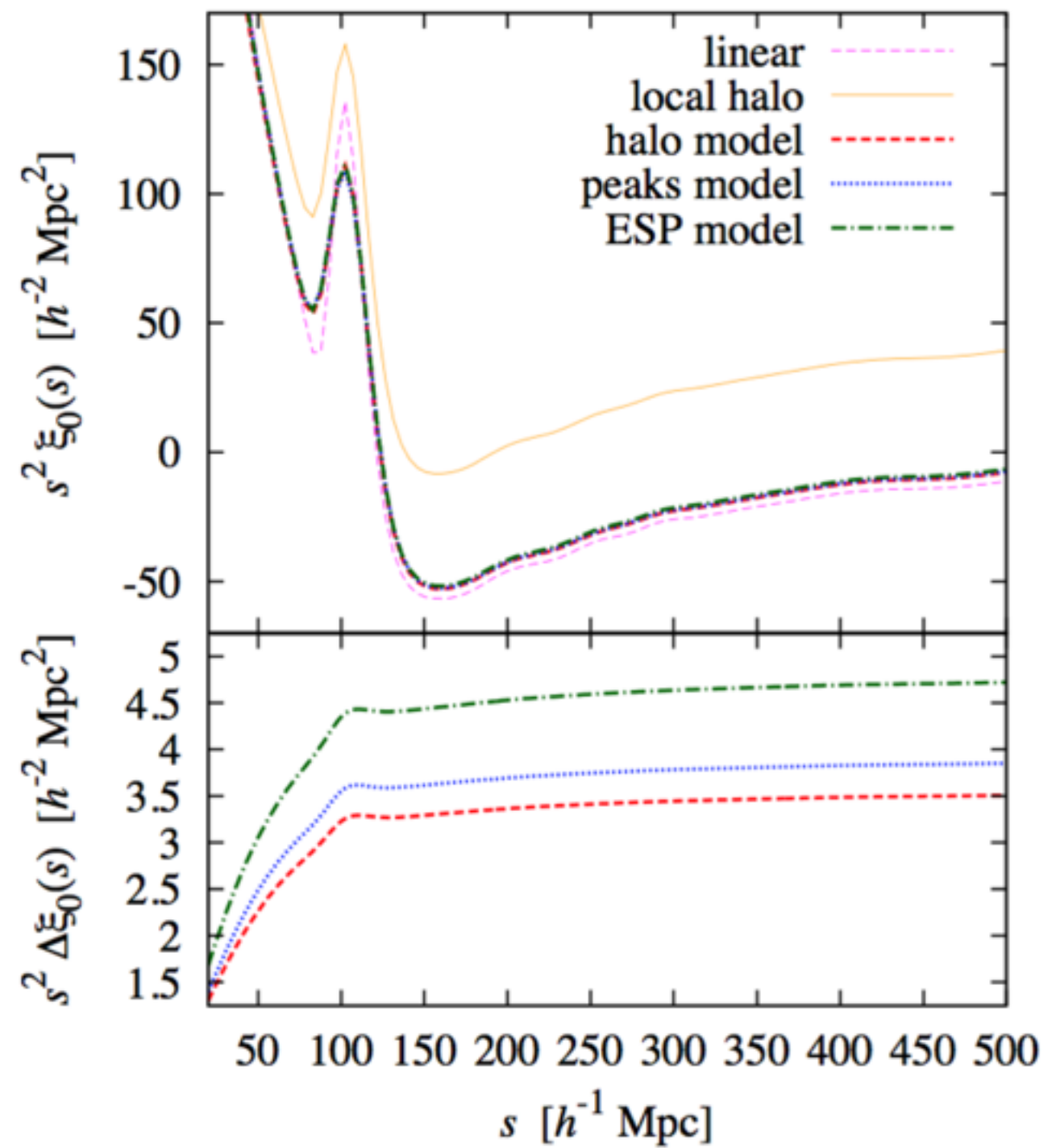
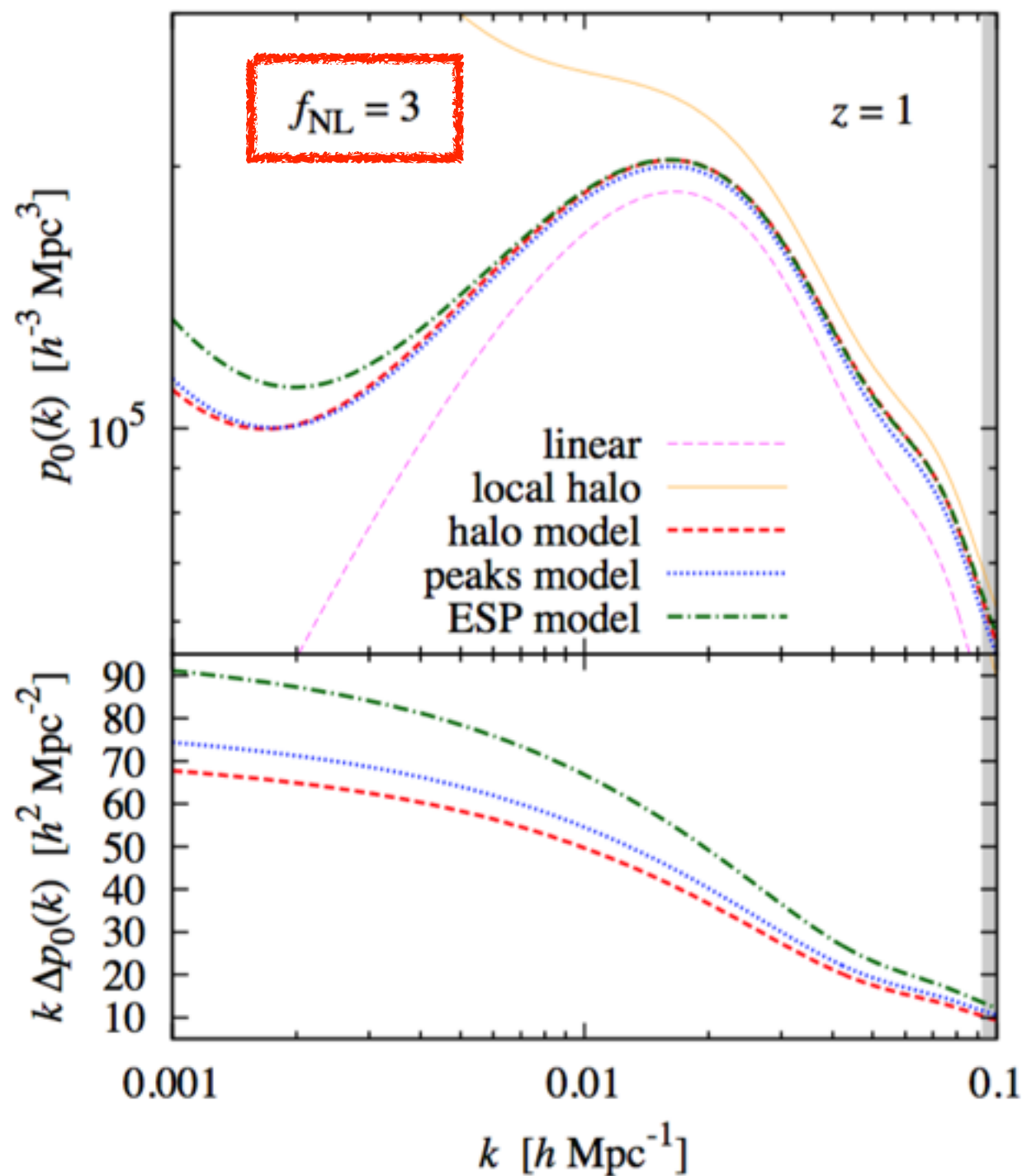
Redshift-space distortions, quadrupole



$f \sigma_8$



Primordial non-Gaussianity



結論

- ・ バイアス・モデル依存性
 - ・ 摂動領域のパワースペクトルは、バイアスのモデルに2-4パーセント程度のレベルで依存
 - ・ 相関関数($r > 20 \text{Mpc}/h$)は、1パーセント以下の依存性
- ・ このレベルを超えた精密宇宙論には、バイアスの正確なモデル化が必要
 - ・ 用いる天体の種類ごとに異なる

・ 終わり